

الجمهورية الجزائرية الديمقراطية الشعبية
وزارة التعليم العالي والبحث العلمي
جامعة العربي التبسي - تبسة



القسم: علوم المادة



مذكرة ماستر

الميدان: علوم المادة

الشعبة: فيزياء

الاختصاص: فيزياء المواد

الموضوع

تأثير النحاس والفرط في السليسيوم على خصائص سبائك Al-Mg-Si

مقدمة من طرف:

❖ همام شيماء

❖ بخوش منال

أمام لجنة المناقشة:

رئيسة اللجنة	جامعة العربي التبسي تبسة	أستاذة محاضر (أ)	زواي سهيلة
مؤطرة	جامعة العربي التبسي تبسة	أستاذة مساعد (أ)	بلغيث هناء
ممتحن	جامعة العربي التبسي تبسة	أستاذ محاضر (ب)	خشبة مراد
مدعو	جامعة العربي التبسي تبسة	أستاذ محاضر (أ)	فرح هشام

تاريخ المناقشة: 2019/06/24



بِسْمِ اللَّهِ الرَّحْمَنِ الرَّحِيمِ



شكر وعرفان

عملا بقوله تعالى: "لئن شكرتم لأزيدنكم".
واقترأ بسنة رسول الله عليه الصلاة والسلام
في قوله: "لا يشكر الله من لا يشكر الناس"
نحمد الله عز وجل الذي أتم علينا جزيل نعمته
وعظيم فضله في إتمام هذه المذكرة
كما نتوجه بجزيل الشكر والإمتنان
إلى الأستاذة المشرفة: بلغيث هناء، وهذا لوقوفها
ومساعدتها لنا من خلال نصائحها وتوجيهاتها
وسعة أفكارها التي مهدت لنا الطريق لإتمام هذه المذكرة.
كما نشكر كل من الأستاذة زواي سهيلة لترأسها لجنة المناقشة، والأستاذ
خشبة مراد لحضوره كمتحن في اللجنة
إلى كل الأساتذة وخاصة الأستاذ فرح هشام الذين لم يبخل علينا
بنصائحه القيمة وملاحظاته النيرة طيلة السنة
وما صاحبها من جهد لإنجاز هذا العمل المتواضع
وإلى كل الأصدقاء والزملاء
الذين ساهموا من قريب أو من بعيد
في إنجاز هذه المذكرة.

إهداء

الحمد لله الذي يسر لي أسباب النجاح في وسط كريم
وفي أحضان أسرة تجسدت فيها
معاني الفضيلة والتضحية، والأجدر بهذا الإهداء إلى من قال فيهما عز
وجل:

" وأخفص لهما جناح الذل من الرحمة... "

إلى أحن قلب والشمعة التي تنير دربي

إلى الربيع الدائم أُمي العزيزة، أطال الله في عمرها

إلى أبي الحنون حفظه الله

إلى أختاي وصديقتاي الحبيبتين إكرام و رفيدة

إلى زوجي العزيز وسندي في الحياة فتحي

إلى ملاكي وقرّة عيني ابني رسيم

إلى جميع الأهل والأقارب والأصدقاء

إلى أستاذي الذي ساعدني كثيرا ولم يدخر جهدا في سبيل إنهاء هذا العمل فرح هشام.

إلى كل هؤلاء أهدي هذا العمل...



إهداء

بِسْمِ اللَّهِ الرَّحْمَنِ الرَّحِيمِ

الحمد رب العالمين الذي بتوفيقه وتسهيل منه في علاه أكملت مسيرتي العلمية وأهيت
دراسة سنوات حملت في طياتها الكثير من الصعوبات وها أنا أقطف ثمرة هذا التعب الذي
أهديه أولاً إلى:

إلى ملاكي في الحياة إلى معنى الحب والحنان إلى من كلله الله بالهبة والوقار إلى..

من علمني العطاء بدون انتظار إلى من أحمل اسمه بكل افتخار، أرجو من المولى عز وجل أن يمد
في عمرك لثرى ثمارا قد حان قطافها بعد طول انتظار، واعدك أن تبقى كلماتك نجوما اهتدي بها
اليوم وفي الغد وإلى الأبد إلى والدي العزيز.

إلى من كانت سبباً في وجودي إلى مورد الحب الصادق ونبع الحنان الدافق إلى معنى الحياة
وسر الوجود إلى من كان دعاؤها سر نجاحي وحنانها بلسم جراحي إلى أعلى الحبايب إلى أُمي
الحبيبة.

إلى القلوب الطاهرة والنفوس البريئة إلى من كانوا يضيؤون لي الطريق ويساندوني
ويتنازلون عن حقوقهم لإرضائي إلى رياحين حياتي إخواني الأعزاء: عبد العظيم، عبد
الرزاق، المعتصم بالله.

إلى من الجأ إليه في حزني وآلامي إلى من يزرع على شفتاي الابتسامة كلما غابت إلى من
تتعلق به الروح ويسكن الفؤاد زوجي.

إلى زهرتا حياتي أختاي: لويذة و يسري وزوجة أخي أريد أن أقول لكم أنني أحبكم حبا لو مر على
ارض قاحلة لتفجرت منها ينابيع المحبة أدامكم الله لي فخرا.

إلى الكتكوت الصغير الذي ينير بضحكاته كل أركان البيت إلى العزيز على القلوب.
ابن أخي الغالي عبد المتين.

إلى أستاذي الذي ساعدني كثيرا ولم يدخر جهدا في سبيل إنهاء هذا العمل فرح هشام.

إلى كل هؤلاء أهدي هذا العمل...

بخوش منال

قَامِلَةٌ الْمُحْتَوِيَاتِ



الفهرس

قائمة المحتويات

IV	قائمة الأشكال
VII	قائمة الجداول
VI	قائمة الرموز
1	مقدمة

I- الفصل الأول: عموميات حول الألمنيوم وسبائكه.

2	I- 1. مقدمة
2	I- 2. تاريخ الألمنيوم ووجوده في الطبيعة
3	I- 3. إنتاج الألمنيوم
4	I- 4. الخصائص الفيزيائية للألمنيوم النقي
5	I- 5. استخدامات الألمنيوم
6	I- 6. سبائك الألمنيوم
6	I- 6.1. تعريف السبيكة
6	I- 6.2. كيفية تكون السبائك
6	I- 6.3. تعيين سبائك الألمنيوم
7	I- 6.4. المعالجة الحرارية لسبائك الألمنيوم
7	I- 6.4.1. تصنيف سبائك الألمنيوم
9	I- 6.4.2. أنواع المعالجات الحرارية
10	I- 6.4.3. سبائك Al Mg Si (السلسلة 6000)

11	I-7. تأثير العناصر المضافة إلى سبائك الألمنيوم.....
11	I-1.7. تأثير السليسيوم.....
12	I-2.7. تأثير المغنيزيوم.....
12	I-3.7. تأثير النحاس.....
13	I-4.7. تأثير النيكل.....

II- الفصل الثاني: الترسيبات في سبائك Al.Mg.Si.

14	II-1. عموميات حول ظاهرة الترسيب.....
14	II-1.1. مقدمة.....
14	II-2.1. آليات الترسيب.....
19	II-3.1. أنواع الترسيبات.....
20	II-2. تأثير الترسيبات على الخواص الميكانيكية.....
21	II-3. تفاصيل حول الترسيبات في سبائك Al-Mg-Si.....
22	II-4. الأطوار المشكلة.....

III- الفصل الثالث: التقنيات التجريبية والأجهزة المستعملة.

28	III-1. مقدمة.....
28	III-2. اختيار المادة المدروسة.....
29	III-3. المعالجة الحرارية.....
30	III-4. تحضير العينات.....
30	III-1.4. الصقل.....
30	III-2.4. التتميش الكيميائي.....
32	III-5. الطرق التجريبية.....

32.....	III - 5. 1. المجهر الضوئي.....
33.....	III - 2.5. اختبار الصلادة.....
34.....	III - 1.2.5. اختبار برينل.....
34.....	III - 2.2.5. اختبار ركوال.....
35.....	III - 3.2.5. اختبار فيكرز.....
37.....	III - 3.5. التحليل بواسطة حيود الأشعة السينية.....

IV - الفصل الرابع: النتائج ومناقشتها

39.....	IV - 1. مقدمة.....
39.....	IV - 2. الدراسة باستعمال المجهر الضوئي.....
41.....	IV - 3. اختبار الصلادة.....
45.....	IV - 4. التحليل بواسطة الأشعة السينية.....
47.....	خلاصة عامة.....

قائمة المراجع

الملحق

الملخص

قائمة الأشكال

رقم الصفحة	عنوان الشكل	رقم الشكل
03	البوكسائت	الشكل I. 1
04	طريقة إنتاج الألمنيوم	الشكل I. 2
08	مخطط تصنيف السبائك	الشكل I. 3
11	جزء من بيان الاتزان للسبيكة Al-Mg ₂ Si	الشكل I. 4
12	بيان الاتزان للسبيكة Al-Mg	الشكل I. 5
13	بيان الاتزان لسبيكة Al-Cu	الشكل I. 6
16	التغير في الأنتالبي الحر لتشكيل نوي كروي ΔG بدلالة قطر هذا النوي	الشكل II. 1
18	رسم تخطيطي للحدود الفاصلة	الشكل II. 2
20	رسم تخطيطي لأشكال الترسيبات	الشكل II. 3
21	التطور التخطيطي للصلادة والقوة الميكانيكية لسبائك التصلد البنوي أثناء التعقيم	الشكل II. 4
23	صورة للطور " β تم الحصول عليها بواسطة المجهر الإلكتروني النافذ (MET)	الشكل II. 5
24	ترسيبات الطور " β وفق نموذج Andersen	الشكل II. 6
25	ترسب الطور ' β لسبيكة Al-Mg-Si	الشكل II. 7
26	ترسب الطور β لسبيكة Al-Mg-Si و شكل بنيته	الشكل II. 8
29	فرن المعالجات الحرارية نابيرثرم NABERTHERM	الشكل III. 1
31	الورق الكاشط و ماكينة الصقل الميكانيكي	الشكل III. 2
31	سطح العينة قبل الصقل	الشكل III. 3
32	سطح العينة بعد الصقل	الشكل III. 4

33	مجهر ضوئي نوع EUROMEX	الشكل III 5.
34	أداة اختبار برينل	الشكل III 6.
34	أداة اختبار ركوال	الشكل III 7.
35	أداة اختبار فيكرز	الشكل III 8.
35	اختبار فيكرز للصلادة (وضعية الاختبار وشكل الأثر).	الشكل III 9.
36	جهاز قياس الصلادة فيكرز نوع "AFFRI"	الشكل III 10.
38	حيود براج	الشكل III 11.
38	جهاز انعراج الأشعة السينية نوع EQUINOX 100	الشكل III 12.
40	البنية المجهرية لعينات سبائك الألمنيوم المدروسة	الشكل IV 1.
42	تغير الصلادة HV بدلالة درجة الحرارة للسبيكة (1)	الشكل IV 2.
43	تغير الصلادة HV بدلالة درجة الحرارة للسبيكة (2)	الشكل IV 3.
44	تغير الصلادة HV بدلالة درجة الحرارة للسبيكة (3)	الشكل IV 4.
45	تغير الصلادة HV بدلالة درجة الحرارة للسبائك الثلاثة	الشكل IV 5.
46	أطياف حيود الأشعة السينية للسبكتين (1) و (2)	الشكل IV 6.

قائمة الجداول

رقم الصفحة	عنوان الجدول	رقم الجدول
28	التركيب الكيميائي للسبيكة المدروسة	الجدول 1.III

قائمة الرموز

الرمز	التعريف
ΔG_v	الطاقة الحجمية الحرة لتشكيل نوي أو ترسب
ΔG_s	الطاقة الحرة للسطح
$G_{\alpha\lambda}, G_{\beta}$	الأنتالبي الحر والحجمي الخاص بالأطوار
r	نصف القطر
r^*	نصف القطر الحرج
γ	الطاقة السطحية
N	درجة الحيود
λ	طول الموجة
d_{hkl}	المسافة بين طبقات الذرات
θ	زاوية الورود للأشعة السينية
MET	المجهر الإلكتروني النافذ
(SSS)	محلول صلب مفرط التشبع
RX	الأشعة السينية
HV	اختبار فيكرز لقياس الصلادة

مُقَاتِلَةُ عَاصِمٍ



يلعب الألمنيوم وسبائكه دورا هاما في الصناعة إذ يحتل المركز الثاني بعد الحديد من حيث الاستخدامات في العديد من التطبيقات. في العموم نجد أن الخصائص الميكانيكية للألمنيوم ضعيفة ولتحسين هذه الخصائص تضاف له بعض العناصر كالحاس والسليسيوم فنتحصل على سبائك الألمنيوم. وتنقسم هذه السبائك إلى صنفين سبائك قابلة للمعالجة الحرارية وسبائك غير قابلة للمعالجة الحرارية.

تهدف هذه المذكرة إلى دراسة وفهم تأثير الحاس و الفرط في السليسيوم على حركية الترسيبات والخصائص الميكانيكية (الصلادة) لسبائك Al-Mg-Si . ولتحقيق هذا الغرض تم استخدام عدة تقنيات تجريبية مثل: المجهر الضوئي (OM) و قياس الصلادة فايكرز Hv وحيود الأشعة السينية (XRD).

وعليه تحتوي هذه المذكرة على مقدمة عامة وأربعة فصول.

في الفصل الأول: بدأنا بتعريف الألمنيوم وسبائكه، وتطبيقاته والمعالجات الحرارية المطبقة على سبائك الألومنيوم . أما الفصل الثاني فهو يتناول عموميات حول ظاهرة الترسيب والتحولات الطورية. وقمنا بتعريف شامل لمختلف التقنيات التجريبية المستخدمة وتحديد المعالجات الحرارية المستعملة في الفصل الثالث. أما في الفصل الرابع فقد قمنا بعرض ومناقشة النتائج التجريبية المتحصل عليها. وفي الأخير نختم المذكرة بخاتمة تم قائمة المراجع فملحق وملخص.

الفصل الأول

عموميات حول

الأطباء وسبائلكم

1.1. مقدمة:

يتمثل الهدف من هذا الفصل في التذكير ببعض المفاهيم العامة للألمنيوم وسبائكه وكذا الخصائص الميكانيكية والمعالجات الحرارية له، بالإضافة إلى استخدامات هذه السبائك في الصناعة.

إن الألمنيوم النقي في صورته المعدنية طري ولين، يتميز بقساوة من رتبة (40) على مقياس برنل للقساوة، وتعد مقاومة الألمنيوم للشد ضعيفة، لذلك يستخدم الألمنيوم على شكل سبائك في معظم التطبيقات الصناعية [1].

ومن أهم سبائك الألمنيوم الأساسية نذكر: Al-Cu، Al-Cu-Mn، Al-Mg، Al-Si، Al-Zn،

.Al-Mg-Si

2.1. تاريخ الألمنيوم ووجوده في الطبيعة:

يرجع أصل التسمية إلى الكلمة اليونانية Alumen، وقد اكتشف الألمنيوم سنة 1825م من طرف العالم هانز كريستيم أورستيد وظل حتى نهاية القرن التاسع عشر شيئا غريبا و ثميناً، حيث يتواجد في الجدول الدوري ويرمز له بالرمز Al وعدده الذري 13 وهو معدن ذو لون أبيض فضي قابل للسحب وهو ثاني عنصر معدني من حيث الوفرة في الكرة الأرضية بعد السيليكون إذ يدخل في تكوين معظم أنواع الصخور و الطمي [2].

يوجد الألمنيوم في الطبيعة على عدة أشكال أهمها سيليكات الألمنيوم $Al_2(SiO_3)_3$ و البوكسائيت $Al_2O_3 \cdot XH_2O$ والكريوليت Na_3AlF_6 .

لم يبدأ استخدام الألمنيوم على نطاق واسع إلا بعد مطلع القرن العشرين بعد أن تبين أن سبكه مع معادن أخرى يحسن معظم الخصائص كالخصائص الميكانيكية والكهربائية.

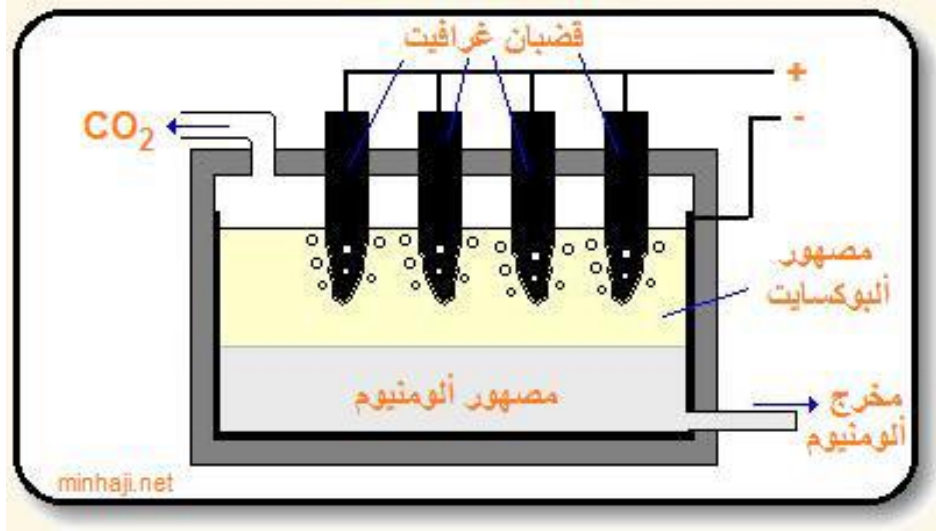


الشكل 1.I: البوكسايت [3].

3.I. إنتاج الألمنيوم:

الألمنيوم معدن نفيس يمكن الحصول عليه بنسبة نقاوة أكثر من 99.99% بطريقة التحليل الكهربائي.

كان إنتاج الألمنيوم في جميع أنحاء العالم (في عام 1866) يتم باختزال الأكسيد بالصوديوم ونظرا لارتفاع تكاليف الصوديوم وخطورة استخدامه، كان لابد من إيجاد طريقة أقل تكلفة وأقل خطرا ففي سنة 1886م تم إنتاج الألمنيوم من خلال الطريقة التي وضعها كل من بول هيرولت وشارل هول بالتحليل الكهربائي للبوكسايت النقي في مصهورة الكريوليت عند 1000°C . حيث يستخدم وعاء من الحديد الصلب مبطن بالجرافيت كقطب سالب، بينما يكون القطب الموجب عبارة عن قضبان كبيرة من الجرافيت ويتكون الألمنيوم النقي على القطب السالب ويسحب من مخرج خاص في أسفل الإناء. كما هو موضح في الشكل 2.I.



الشكل 2.I: طريقة إنتاج الألمنيوم [3].

4.I الخصائص الفيزيائية للألمنيوم النقي:

يتبلور الألمنيوم في النظام المكعب المركز الوجوه عند درجة حرارة أقل من درجة حرارة انصهاره. من أهم خصائصه نذكر:

- ثابت الشبكة $0,405 \text{ nm}$ عند 25°C .
- الكتلة الحجمية عند 25°C هي $2,698 \text{ g/cm}^3$.
- درجة حرارة إنصهاره 660°C .
- درجة حرارة التبخر 2270°C .
- معامل التمدد المتوسط عند درجة حرارة بين 20°C إلى 300°C هو $2,55 \cdot 10^{-5} \text{ }^\circ\text{C}^{-1}$.

$$\lambda = 217,6 \text{ w/km}$$

– الناقلية الحرارية عند درجة حرارة 20°C

$$\rho = 2,63 \text{ } \mu\Omega\text{cm}$$

– المقاومة الكهربائية عند درجة حرارة 20°C

– مقاومة الشد من 65 N/mm^2 إلى 90 N/mm^2 .

– معامل المرونة 6800 MPa .

5.I استخدامات الألمنيوم:

يستخدم الألمنيوم في العديد من المجالات نذكر منها:

في مجال النقل:

في صناعة السيارات من أجل تخفيض وزن المركبات ومنه تخفيض استهلاك الوقود. مثلا في السبائك التي تنتمي إلى السلاسل 6009، 6010، 6011، 6016، وأيضا 6061. هذه السبائك تدخل في تصنيع معظم هياكل السيارات، العجلات، أعمدة الإنارة...إلخ.

في مجال البناء والهندسة المعمارية:

نجد الألمنيوم وسبائكه على شكل منتجات مدرفلة أو مكبوسة وذلك في التطبيقات التالية:

لوحات الواجهات والستائر الحائطية، الشرفات، في الهياكل والمعدات المستعملة في البناء.

في مجال الهندسة الكيميائية:

مثل معدات التصنيع وخزانات الغاز الطبيعي السائل.

في مجال الصناعات الغذائية :

يحتل الألمنيوم جزء كبير في الصناعات الغذائية إذ يستعمل مثلا في تصنيع علب الحفظ وأوراق التغليف.

يستخدم أيضا في منتجات عديدة في حياتنا اليومية مثل أدوات المطبخ، الأثاث، ألعاب الأطفال وأجزاء في الطائرات والصواريخ... إلخ.

6.I. سبائك الألمنيوم.**1.6.I. تعريف السبيكة:**

السبيكة هي ناتج إتحاد كلي أو جزئي بين عنصرين كيميائيين أو أكثر، بشرط أن يكون أحدهما معدن، فالمعدن هو المكون الأساسي للسبيكة ويمثل 90% منها، وهناك مكونات أخرى يُطلق عليها المكونات الفرعية معدنية أو لا معدنية مثل السيليكون والكربون متواجدة بكميات صغيرة جداً.

والعديد من العناصر النقية لينة جداً، أو تصدأ بسهولة، أو بها عيوب أخرى. ولكن هذه العيوب يمكن التغلب عليها بمزج هذه المعادن بعناصر أخرى. وقد تحتوي السبيكة الواحدة على ثلاث أو أربع مواد مختلفة، أو أكثر.

2.6.I. كيفية تكون السبائك:

بما أن السبيكة عبارة عن خليط من المعادن. وأغلب المعادن تكون في حالة صلبة، كيف يمكن خلطها لتكوين السبيكة؟

في هذه الحالة، الطريقة التقليدية لصناعة السبيكة هي تسخين وإذابة المكونات للحصول على كل سائل على حدى، ثم خلطها معاً بصورة متجانسة وتركها لتبرد تماماً فيما يطلق عليه محلول صلب.

وهناك طريقة بديلة، هي تحويل جميع المكونات إلى مسحوق، وخلطها مع بعض جيداً ومن ثم تعريضها إلى ضغط مرتفع وحرارة مرتفعة حتى تمام التجانس. ويُطلق على هذه الطريقة المسحوق.

الطريقة الثالثة هي غرس الأيونات، وهي طريقة دقيقة جداً في تصنيع السبائك. يمكن استخدامها في تصنيع أنصاف النواقل.

3.6.I. تعيين سبائك الألمنيوم:

استناداً إلى الرابطة الأمريكية للألمنيوم (USA-Washington DC)، يتم تعيين سبائك الألمنيوم باستخدام نظام مكون من أربعة أرقام [4]:

الرقم الأول من 1 إلى 8 يشير إلى عائلة السبائك، يتم تحديده بواسطة العنصر الرئيسي للسبيكة.

- ← 1xxx : Al 99,00% .
- ← 2xxx Cu : لسبائك Al-Cu-Mg الفئة Al-Cu .
- ← 3xxx Mn : لسبائك Al-Mn .
- ← 4xxx Si : لسبائك Al-Si .
- ← 5xxx Mg : لسبائك Al-Mg .
- ← 6xxx Mg+Si : لسبائك Al-Mg-Si .
- ← 7xxx Zn : لسبائك Al-Zn-Mg الفئة Al-Zn-Mg-Cu .
- ← 8xxx : مختلف السبائك الأخرى .

الرقم الثاني من اليسار: يعين درجة ضبط الشوائب بالنسبة للسلسلة 1xxx أو التغير في تركيب السبيكة الأساسي بالنسبة للسلاسل الأخرى، فالرقم صفر يعني التركيب الأساسي دون تعديل، ثم يرمز للتعديلات المدخلة بالأرقام من واحد إلى تسعة.

آخر رقمين هما رقمي الترتيب ويتم استخدامهما لتحديد السبائك. الاستثناء الوحيد هو السلسلة 1000 حيث يشير هذين الرقمين إلى النسبة المئوية للألمنيوم.

4.6.I. المعالجات الحرارية لسبائك الألمنيوم:

يقصد بالمعالجات الحرارية التسخين إلى درجة حرارة معينة، ثم التبريد بمعدل يتم التحكم به، تهدف هذه المعالجات إلى رفع المقاومة الميكانيكية للمادة وزيادة قساوتها.

1.4.6.I. تصنيف سبائك الألمنيوم:

تنقسم سبائك الألمنيوم إلى قسمين رئيسيين: سبائك قابلة للمعالجات الحرارية وسبائك غير قابلة للمعالجات الحرارية.

السبائك القابلة للمعالجة الحرارية:

يتم تحسين الخصائص الميكانيكية لهذا النوع من السبائك بإجراء معالجة حرارية تحتوي على ثلاثة مراحل:

التسخين، التبريد، ثم التعقيق.

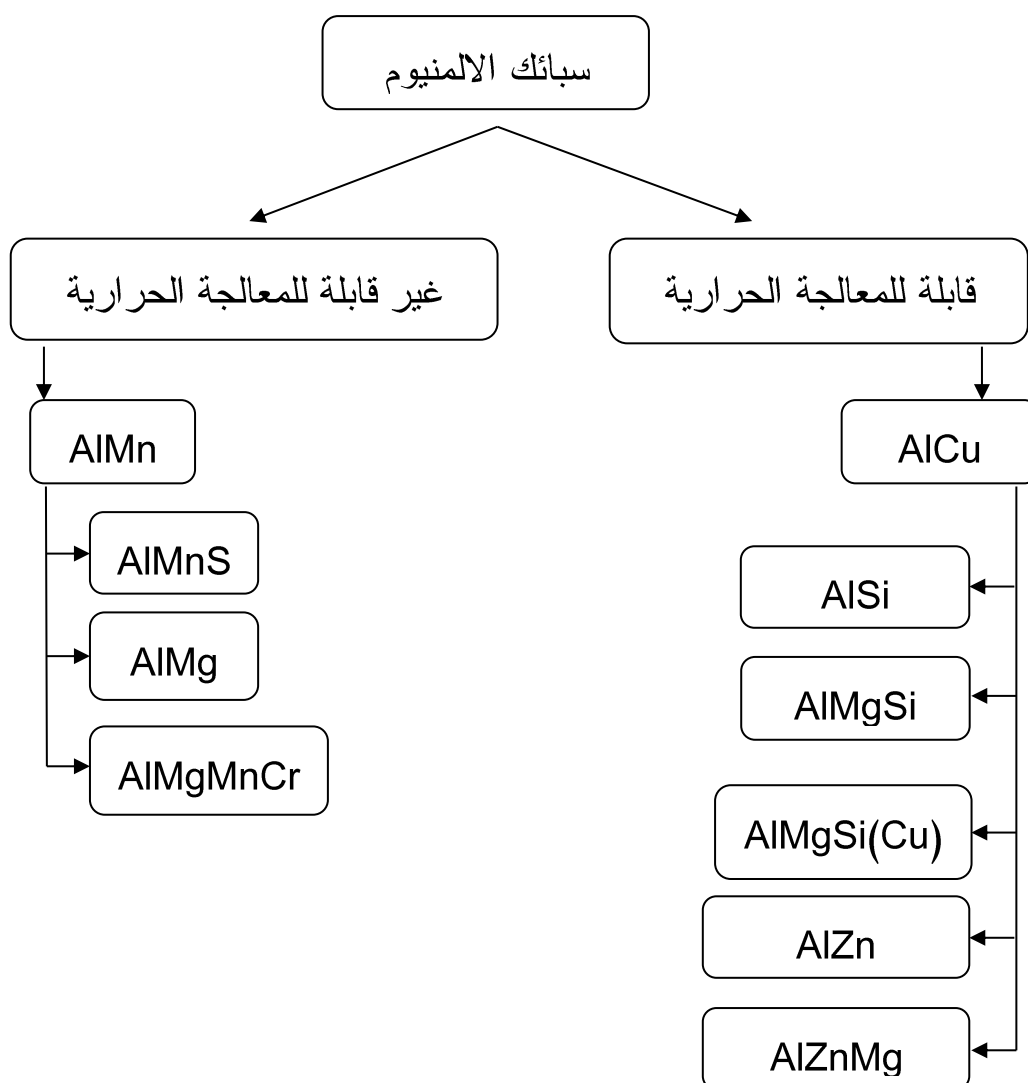
من أهم هذه السبائك نذكر السلاسل 2000، 6000، 7000.

السبائك غير القابلة للمعالجة الحرارية:

تستعمل عدة تقنيات لتحسين خصائص هذا النوع من السبائك نذكر منها:

التقسية بالتشوه اللدن، السحب، الثني، الدرفلة.

من أهم هذه السبائك نذكر السلاسل: 1000، 3000، 5000.



الشكل 3.1: مخطط تصنيف السبائك

I.2.4.6. أنواع المعالجات الحرارية:

1-التلدين:

يتم تلدين السبائك المصددة بفعل عمليات التشكيل أو بفعل عمليات التبريد السريع مثل معالجات إعادة البلورة (الترميم) المستعملة في حالة تعرض المعدن للتشوه عند تشكيله.

عملية التلدين هي عبارة عن تسخين السبائك خاصة تلك التي تحتوي على ترسبات، مدة زمنية طويلة تحت درجات حرارة مرتفعة.

2-التصلد البنيوي:

هذا النوع من المعالجات الحرارية يحتوي على ثلاثة مراحل:

- ◀ المعالجة الحرارية للمعدن تحت درجات حرارة مرتفعة نسبيا.
- ◀ القيام بعملية السقاية أو التبريد السريع لهذا المعدن الذي يمنع أي انتشار من أجل الحفاظ على الحالة البنيوية المتحصل عليها من عملية التجانس.
- ◀ ثم عملية التعقيق وله نوعين تعقيق طبيعي وتعقيق اصطناعي والهدف منهما تسهيل العودة جزئيا إلى شروط التوازن.

• التعقيق الطبيعي:

السبائك المعالجة حراريا تتغير خصائصها الميكانيكية عند تواجدها في درجة حرارة الغرفة لمدة تتعدى بضع أيام وقد تصل إلى بضع سنوات وهذا ما يعرف بالتعقيق الطبيعي.

بعض سبائك الألمنيوم للسلسلة 6000 تصل صلابتها إلى قيمة عظمى بعد شهر من تعقيقها، التعقيق الطبيعي هدفه الرئيسي هو الرفع من الصلادة.

• التعقيق الاصطناعي:

يتمثل في التسخين إلى درجة حرارة أعلى من درجة حرارة الغرفة خلال مدة زمنية حسب الغرض المطلوب.

في حالة سبائك الألمنيوم Al-Mg-Si تتغير درجة حرارة التعقيم الاصطناعي ما بين 100°C إلى 240°C .

3- معالجات التجانس:

الهدف منها هو الحفاظ على المواد لفترة طويلة في درجة حرارة عالية نسبيا، كما يمكنها تقليل الترسبات المتحصل عليها أثناء عملية الترسيب.

وتعتمد المعالجات الحرارية بالتجانس على درجة حرارة مرتفعة نسبيا، حيث تتراوح درجة حرارة التجانس في معظم الأحيان من 450°C إلى 500°C [5].

3.4.6.I. سبائك Al-Mg-Si (السلسلة 6000):

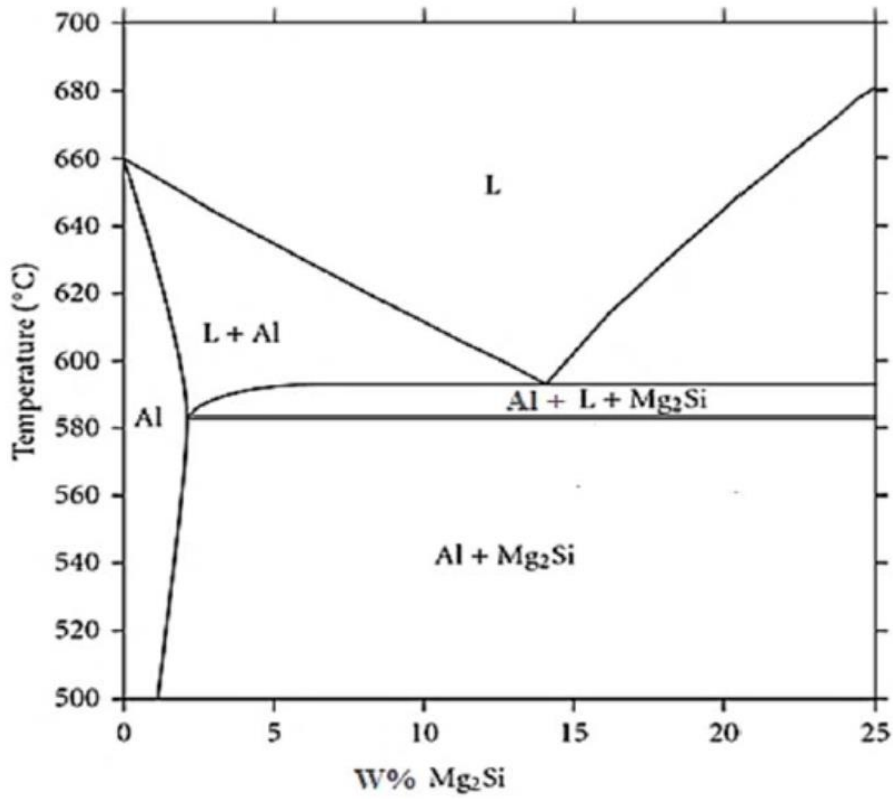
سبائك Al-Mg-Si هي سبائك محاليل صلبة من النوع Al-Mg₂Si [6]، السلسلة 6000 التي تنتمي إلى فئة سبائك التصلد البنيوي والتي تكتسب صلابتها اعتمادا على تشكل مختلف الأطوار المترسبة وتكون هذه الأطوار مستقرة مثل الطور β (Mg₂Si) أو غير مستقرة مثل الطور " β ".

❖ مجموعة مركباتها غنية بالمغنيزيوم والسليسيوم مثل السبائك 6061 و6082 المستخدمة في تطبيقات الهيكلية (الإطارات...).

❖ فئة أخرى تحتوي على نسبة ضعيفة من السليسيوم مما ينتج عنها خصائص ميكانيكية ضعيفة مثلا السلسلة 6060 رغم توفر سرعات عالية للغزل لكن تبقى الخصائص الميكانيكية ضعيفة [7].

❖ سبائك السلسلة 6000 لها أهمية كبيرة في مجال الصناعة، تستخدم أساسا كتشكيلات هيكلية (الألواح الجانبية للشاحنات، لافتات الطريق...).

وتستخدم أيضا في تصنيع أسلاك خطوط النقل والتوزيع الكهربائي [8].



الشكل 4.I : جزء من بيان الاتزان للسبيكة Al-Mg₂ Si [9]

7.I تأثير العناصر المضافة إلى سبائك الألمنيوم:

نظرا إلى أن الألمنيوم النقي يمتلك خصائص ميكانيكية ضعيفة تعتبر غير كافية لاستخدامه في مختلف المجالات الصناعية. تتم إضافة عناصر مثل النحاس والمغنيزيوم وغيرهما لتحسين هذه الخصائص.

1.7.I تأثير السليسيوم:

التأثير الملحوظ للسليسيوم في سبائك الألمنيوم هو تحسين خصائص التشكيل، مقاومة التكسير على الساخن، حيث تعتبر السبيكة Al-Si الأكثر استخداما في سبائك الألمنيوم [10].

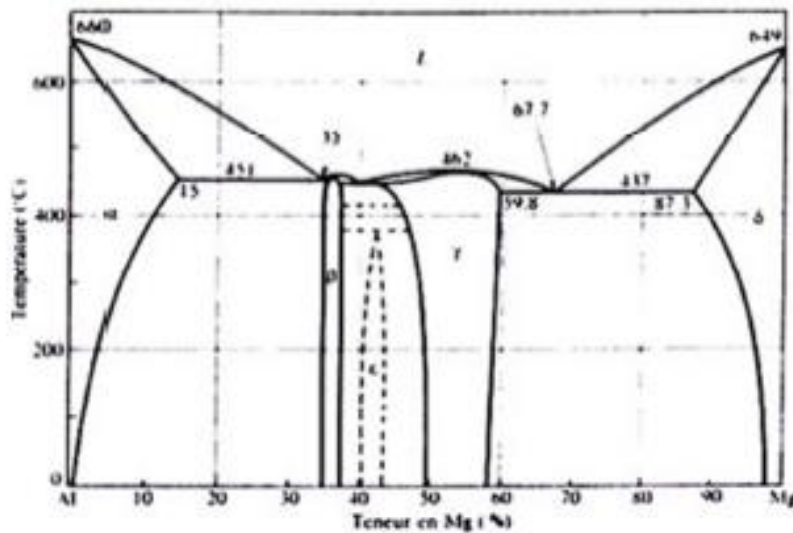
2.7.I تأثير المغنيزيوم:

تستخدم سبائك Al-Mg على نطاق واسع في التطبيقات التي تتطلب مقاومة جيدة ضد التآكل. نسبة المغنيزيوم في هذه الأخيرة تتغير بين 4% إلى 10%.

يصنف المغنيزيوم كمعدن خفيف، وعند إضافته إلى سبيكة الألمنيوم بنسبة من 0.1% إلى 4.4% يحسن من عملية الإلتحام [13,12,11].

الزيادة في تركيز المغنيزيوم تؤدي إلى الزيادة في القوة الميكانيكية وانخفاض في الليونة.

يظهر ذلك في بيان الاتزان لسبيكة الألمنيوم مغنيزيوم [13,12]Al-Mg.



الشكل 5.I: بيان الاتزان للسبيكة [13]Al-Mg

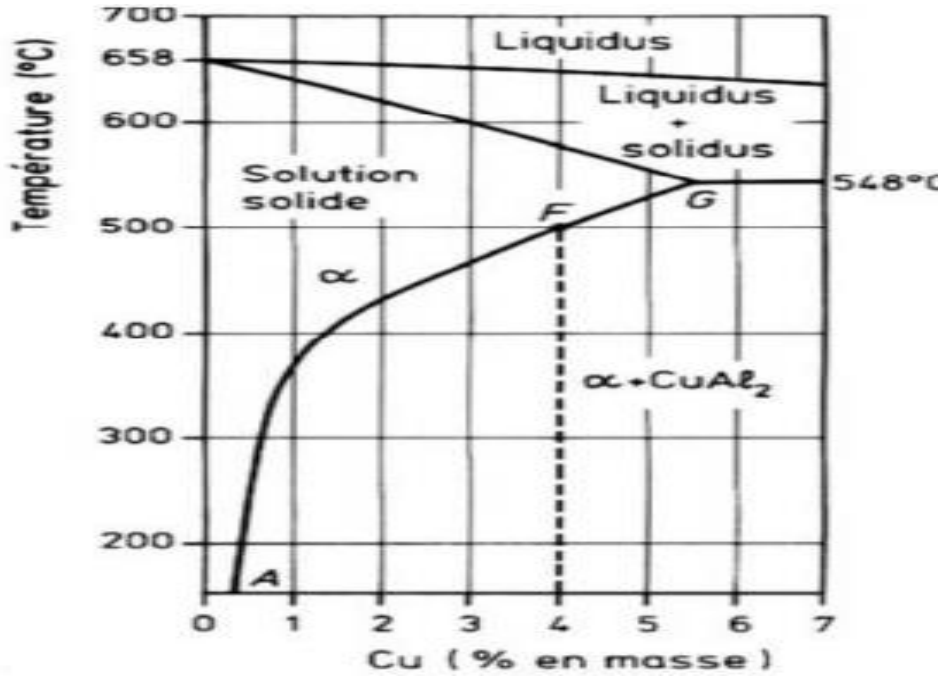
3.7.I تأثير النحاس:

النحاس يحسن إلى حد كبير مقاومة و صلادة السبائك عندما تخضع لعملية التشكيل والمعالجة الحرارية.

السبائك التي تحتوي على 4 إلى 6% من النحاس هي التي تستجيب للمعالجات الحرارية. إضافة Cu في الغالب تقلل من مقاومة التآكل ومقاومة التأكسيد على الساخن والليونة.

سبائك الألمنيوم الأكثر استخداما هي التي تحتوي على 4 إلى 10% من النحاس.

يظهر ذلك في بيان الاتزان لسبيكة الألمنيوم نحاس [12]Al-Cu.



الشكل 6.I: بيان الاتزان لسبيكة [14]Al-Cu.

4.7.I تأثير النيكل:

يستخدم النيكل في العادة مع النحاس لتحسين الخصائص الميكانيكية في درجات الحرارة المرتفعة، يقلل هذا الأخير من معامل التمدد الحراري لسبائك الألمنيوم [10].

الفصل الثاني

الترسبات في سبائك

Al _ Mg _ Si

II.1.1. عموميات حول ظاهرة الترسيب :**II.1.1.1 مقدمة :**

هناك عدة عوامل تتحكم في حركية ترسيب محلول صلب مفرط التشبع، نستطيع ذكر منها على وجه الخصوص نوع التحول، ووجود عيوب الشبكة مع توزيعها في السبائك. وقد اهتم الباحثون عند دراسة الترسيبات بتعديل الخصائص الميكانيكية للسبائك في منطقة وجودها (أي التشوهات). هذه التغيرات تتمثل عموماً في الزيادة في حد المرونة، والصلادة، هذه الأخيرة تتطور مع درجة الحرارة والأطوار البنيوية للمادة.

يمكن وصف ظاهرة الترسيب من خلال 3 آليات: التنوي والنمو والالتحام.

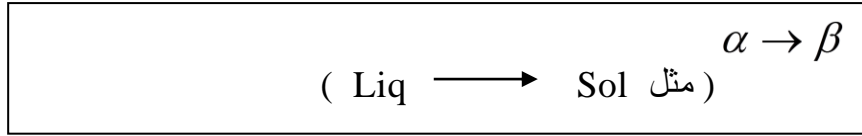
II.1.1.2. آليات الترسيب:**أ/التنوي:**

يعرف التنوي على أنه زيادة في عدد الترسيبات خلال المحلول الصلب مفرط التشبع. الترسيبات الموجودة تبدأ في الزيادة حيث يزداد نصف قطر الجسيمات المشكلة بينما يبقى عدد الرواسب ثابتاً ويقترب التشبع من الصفر، و يسمح هذا بالتطور لأن مساحة الرواسب تقل. عندما يصبح حد التنوي عالياً، يتوقف هذا الأخير.

التنوي خلال عملية التجميد هو عبارة عن تكون بلورة صغيرة الحجم (نوي) في الطور السائل بحيث يمكنه النمو ولقد تم تقسيمه إلى نوعين التنوي المتجانس وغير المتجانس.

• التنوي المتجانس:

نعتبر أن الطور α طور متجانس، يسخن إلى درجة حرارة T فيصبح غير مستقراً ويبدأ في التحول إلى الطور الجديد β ، بفرض أنه تكون نوي كروي نصف قطره r ، فالتفاعل الفيزيوكيميائي عند درجة حرارة T تختلف عن درجة حرارة اتزان الطورين $T \neq T_{eq}$ هو:



يعبر عن تغير الطاقة الحرة للمحلول بالعلاقة التالية:

$$\Delta G = \frac{4}{3}\pi r^3 \cdot \Delta G_v - 4\pi r^2 \gamma \dots\dots\dots (1 \cdot II)$$

حيث:

$\Delta G_v = G_\beta - G_\alpha$ هو تغير الطاقة الحرة الحجمية الخاصة بالتحول أي أنه يرتبط بتكوين الطور الجديد β الناشئ عن الطور الأم α وهو مقدار سالب.

γ : هي الطاقة السطحية البينية.

ليتحقق التفاعل من أجل $T_{eq} > T$ تكون $\Delta G_v < 0$ ، بينما يكون المقدار $4\pi r^2 \gamma$ دوما

موجب:

الشكل (2. II) يمثل منحنى تغير ΔG بدلالة r و يظهر على هذا المنحنى دورة عظمى عند r^*

توافق (ΔG^*) وعندما:

$r < r^*$: يكون ظهور النوي β مرفقا بارتفاع في الطاقة الحرة وبالتالي فإن النوي يزول.

$r > r^*$: يكون ظهور النوي β مرفقا بانخفاض في الطاقة الحرة وبالتالي فإن النوي يبقى مستقرا.

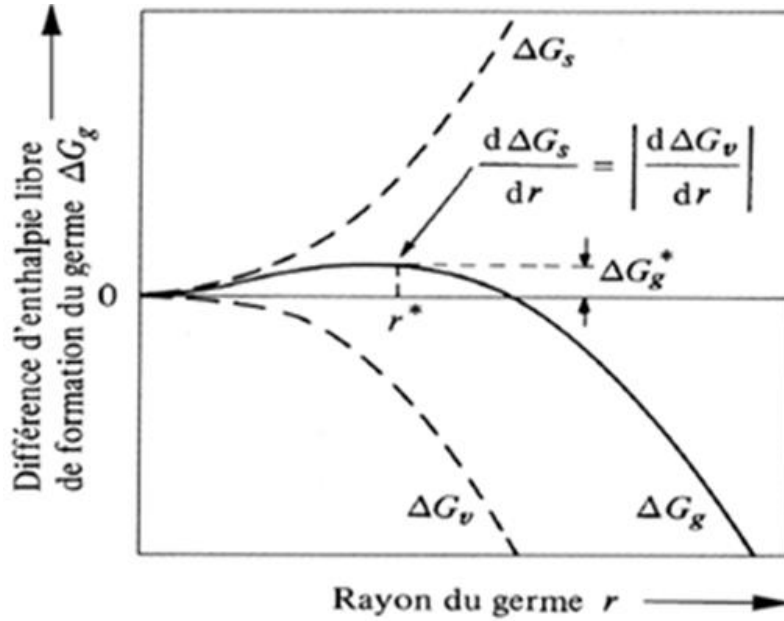
إن مصدر الطاقة اللازمة لتكوين أني للنوي هو مصدر حراري ويمكن تقديره عندما:

$$\frac{\partial \Delta G}{\partial r} = 0 \dots\dots\dots (2 \cdot II)$$

$r=r^*$

$$\Delta G^* = \frac{16r^3 \gamma}{3(\Delta G)^2 v} \dots\dots\dots (3 \cdot II)$$

$$r^* = \frac{-2\gamma}{\Delta G_v} \dots\dots\dots (4 \cdot II)$$



الشكل 1.II : التغير في الأنتالبي الحر لتشكل نوي كروي ΔG بدلالة نصف قطر هذا النوي [16].

• التتوي الغير متجانس:

يظهر التتوي الغير متجانس عند تجميد المواد المنصهرة حيث يوفر الوعاء الذي يحتوي على سوائل المواد المنصهرة سطحاً محفزاً لتجميد المواد.

تتكون المناطق المفضلة للتتوي غير المتجانس من كل المناطق التي فقدت استمرارية ترتيبها البلوري حيث تكون طاقتها السطحية منخفضة، ومهما يكن موقع التتوي فلا بد من انخفاض درجة الحرارة لتحقيق التتوي الغير متجانس أي يكون ΔT أقل منه في حالة التتوي المتجانس. وهذا راجع للدور الذي تلعبه جزيئات سطح الوعاء الذي يحتوي على المادة المنصهرة في تسريع عملية التتوي.

يعبر عن الطاقة السطحية في أبسط حالات التجميد $L \rightarrow \alpha$ بالعلاقة النظرية التالية:

$$\gamma_{sl} = \gamma_{sg} + \cos \theta \dots \dots \dots (5 \cdot II)$$

γ_{sl} : الطاقة السطحية بين السطح المحفز (s) والسائل (L).

γ_{sg} : الطاقة السطحية بين السطح النوي المتجمد (α) والسطح المحفز.

γ : الطاقة السطحية بين سطح النوي والسائل.

θ : زاوية الإلتحام بين مماس سطح النوي ومماس السطح المحفز.

تعطى الطاقة الحرة للحاجز الطاقوي بالعلاقة:

$$\Delta G^* = \frac{16\pi\gamma^3 f(\theta)}{3(\Delta Gv)^2} \dots \dots \dots (6 \cdot II)$$

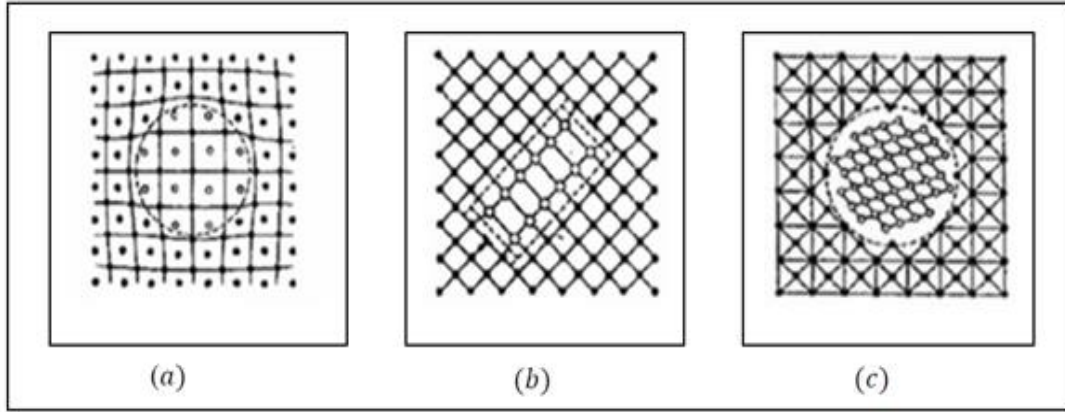
$$f(\theta) = (2 + \csc \theta) \frac{(1 - \csc \theta)^2}{4} \dots \dots \dots (7 \cdot II)$$

(ب) النمو :

يمثل النمو سرعة التحول بواسطة الانتشار (أي يتم تحريضه حرارياً)، يكون النمو في الحد الفاصل بين الطور الأم والطور المتشكل ويتحدد هذا الأخير بواسطة عاملين أساسيين:

- سرعة انتقال الذرات نحو السطح البيني الفاصل بين الطور الأم والطور الجديد.
 - قدرة الذرات القادمة على اجتياز السطح الفاصل بين الطور الأم والطور الجديد.
- قد يكون أحدهما أسرع من الآخر وذلك حسب مرحلة النمو، فمثلاً في حالة ترسيب طور ثاني يكون عدد الذرات التي تشكل البلورة النامية في بداية النمو قليلاً ومسافة الانتشار صغيرة وبالتالي يكون اجتياز السطح البيني بطيئاً جداً، بينما عندما يكون النمو متقدماً فإنه يحدث العكس وتسيطر ظاهرة الانتشار على مرحلة النمو.

هناك ثلاثة أشكال للحدود الفاصلة موضحة في الشكل (2. II).



الشكل 2.II : رسم تخطيطي للحدود الفاصلة [17].

✓ (a): حد فاصل متماسك.

✓ (b): حد فاصل شبه متماسك.

✓ (c): حد فاصل غير متماسك.

✓ الحدود الفاصلة المتماسكة:

يكون للسطوح البينية المتجاورة نفس الترتيب الذري، بمعنى آخر تترتب بعض المستويات والاتجاهات البلورية للطورين بنفس الصورة، أي أنه توجد علاقات الالتحام البلورية بين الطورين وكذلك تطابق في المستويات البلورية للطورين. إن الاستمرارية في الترتيب الذري لا تعني تساوي في البعد الذري بين الطورين.

يمكن مرور الإنخلاعات عبر الطور الثاني تاركة وراءها إزاحة. غير أن السطح البيني لا يحتوي على إنخلاعات بل يظهر تشوه للبلورة في جوار الطور الثاني وهذا ما يعرف بحقول الإجهادات والتي تم مشاهدتها بواسطة المجهر الإلكتروني النافذ.

عادة ما نحصل على السطح البيني الملتحم بين طورين أحدهما من النوع HC والآخر من النوع CFC عند تطابق المستويين (0001) و (111) وتطابق الاتجاهين $[2\bar{1}10]$ و $[\bar{1}10]$.

✓ الحدود الفاصلة شبه المتماسكة:

يتكون هذا النوع من السطوح في مناطق متماسكة كلياً ومفصولة بإنخلاعات عند الحدود الفاصلة بين الطورين نلاحظ أنه يوجد التلاحم بين الطورين من جهة ووجود إنخلاعات من جهة أخرى.

✓ الحدود الفاصلة الغير المتماسكة:

لا توجد استمرارية للترتيب الذري بين شبكتي الطورين، ويتكون السطح الفاصل بينهما من ترتيب للإنخلاعات من جهتي الطورين. إذن يوجد حجم مهم للشبكتين البلوريتين حيث يكون مشوها ويمتاز هذا النوع من السطوح بحركة بطيئة.

يظهر هذا النوع من العيوب كذلك في حالة ترسيب مكثف كطور ثاني. لا يمكن للإنخلاعات خلال حركتها اختراق السطح البيني بسبب عدم استمراريته مع شبكة الطور الأم لذا تلتف خطوط الإنخلاعات حول هذا النوع من الترسبات.

(ج) الإلتحام:

عندما يوضع نظام معين لطور مشتت عند درجة حرارة مرتفعة نسبياً، فإن عدد جسيمات الطور المشتت يتناقص بينما يزيد متوسط حجم الجسيمات خلال هذا الإلتحام، تنمو الجسيمات الكبيرة على حساب الجسيمات الصغيرة [18].

تتطلب هذه العملية تدفق ذرات المذاب من المناطق المجاورة للحبيبات الصغيرة إلى المناطق المحيطة بالحبيبات الضخمة، مما يعني أن تركيز هذا المذاب في محلول الاتزان مرتفع بالنسبة لترسبات الجسيمات الصغيرة. ونظراً لأن نسبة الذرات الموجودة في الحد البيني تزداد عندما ينخفض الحجم، فإن الطاقة الحرة للذرات المترسبة أكبر من طاقة الجسيمات الصغيرة. في نظام يحتوي على جزيئات ذات أحجام مختلفة، توجد تدرجات تركيز في المصفوفة، ويحدث انتشار المذاب من المناطق المحيطة بالجزيئات الصغيرة إلى تلك المجاورة للجزيئات الأكبر. عادة ما يكون الإلتحام مصحوباً بانخفاض في القوة الميكانيكية للسبائك [18].

II.3.1. أنواع الترسبات:

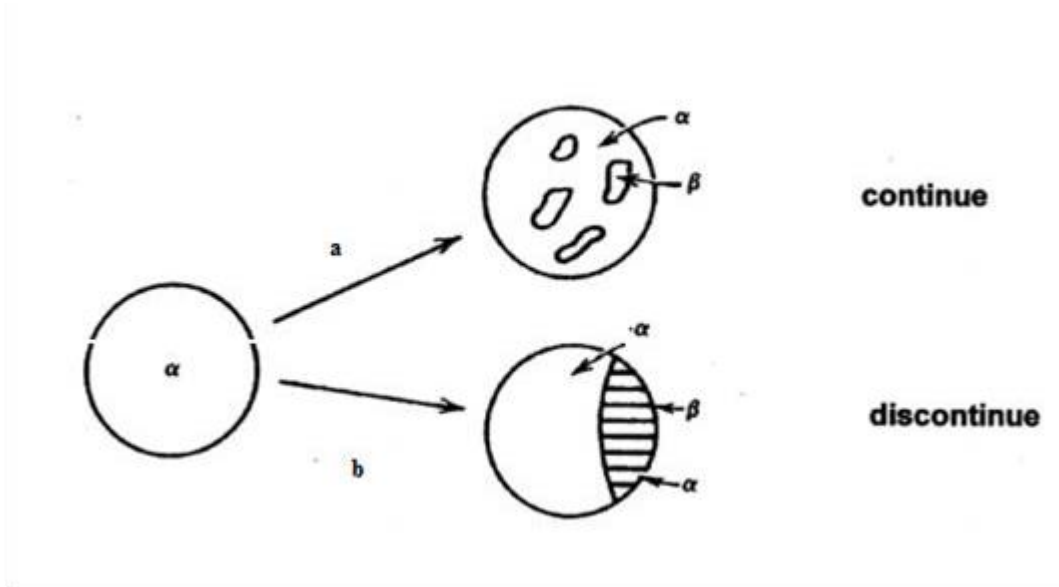
يمكن تعريف نوعين من الترسبات: ترسبات مستمرة وترسبات غير مستمرة.

(أ) الترسبات المستمرة:

يسمى أي تحول يتغير فيه تركيز المادة المذابة في الطور الأم باستمرار حتى قيمة الإلتحام بالترسيب المستمر. يكون تفكك المحلول الصلب الفائق التشبع متبوع بتغير في ثوابت الشبكة.

(ب) الترسبات الغير المستمرة:

يعرّف الترسيب الغير مستمر أو المتقطع بأنه تحول طور يقسم المادة إلى منطقتين: منطقة أين يكون التحول تام ومنطقة لا يزال محلول صلب مفرط التشبع. أثناء التعقيم، يتغير ثابت الشبكة بصفة غير مستمرة (تؤدي هذه العملية إلى ظهور طورين: طور ابتدائي و طور جديد).



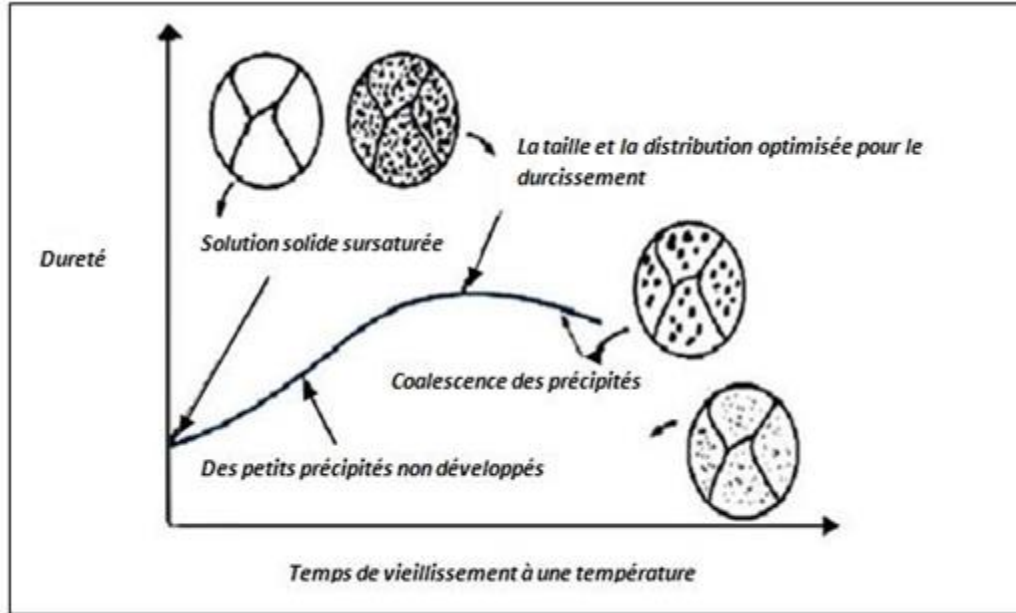
الشكل 3.II: رسم تخطيطي لنوعي الترسبات [15].

2.II. تأثير الترسبات على الخواص الميكانيكية:

أثناء نمو الترسبات لتشكيل سبيكة، فإنه من الضروري التحدث عن الخصائص الميكانيكية للمواد. يتم الحصول على حالة توازن محلول صلب مفرط التشبع من خلال تكون ترسبات، مما يزيد من مقاومتها للتشوه.

تزيد سرعة الترسيب كلما زادت درجة الحرارة. ويعتمد ذلك على التركيبة الكيميائية. ونميز نوعان من السبائك التي تتشكل على البارد والتي تتشكل على الساخن. يعرف التصلد البنيوي على أنه ارتفاع في الصلادة بعد التبريد مع إطالة زمن التعقيم. لا يمكن ملاحظة هذا إلا إذا كانت قابلية الذوبان في المذيب تزداد مع ارتفاع درجة الحرارة. تتم ملاحظة هذه الظاهرة في بعض سبائك الألمنيوم، أين تكمن الفائدة في الحصول على معدن خفيف ويمتلك خصائص ميكانيكية محسنة.

إن تطور الخواص الميكانيكية لسبائك الألمنيوم مشروط عمليا بنفس خطوات التصلد البنيوي كما هو مبين في الشكل (4.II).



الشكل 4.II : التطور التخطيطي للصلادة والقوة الميكانيكية لسبائك التصلد البنيوي أثناء التعتيق [19].

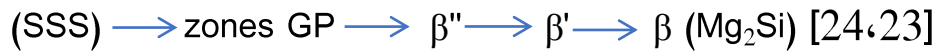
3.II. تفاصيل حول الترسبات في سبائك Al-Mg-Si:

بشكل عام أظهرت التجربة في حالة سبائك الألمنيوم أننا خلال التتوي نتعامل فقط مع الترسبات، أي تشكيل المناطق GP، التي تختلف في عدد، حجم، شكل وحركية النمو من سبيكة إلى أخرى، في حين أنه بسبب صعوبات التتوي، فإن الطور المستقر أو الأطوار الأخرى الثابتة لها بنية بلورية مختلفة عن بنية الألمنيوم لا يمكن أن تظهر على الرغم من إمكانية ظهور مناطق GP في البداية، إلا أنها تستبدل عادة بطور واحد ثابت أو أكثر.

4.II. الأطوار المتشكلة:

تمت دراسة حركية الترسيبات في سبيكة ألومنيوم السلسلة 6000 خلال دورة التسخين من حالة الصلب الخام إلى درجة حرارة التجانس بواسطة تقنيات تجريبية مختلفة [20،21]. التحليلات التي أجريت في درجة حرارة ثابتة [18،22] مكنت من تحديد التغيرات المتتالية التي حدثت خلال دورة التسخين قبل التجانس ، وكذلك تأثير معدل التسخين على حركيات التحول.

عندما تكون النسبة الذرية Mg / Si تساوي 2، فإن تسلسل حركية الترسيبات لهذه السبائك يكون كما يلي :



حيث:

(SSS): هو المحلول الصلب المشبع لمصفوفة الألومنيوم.

(GP): يمثل مناطق غينير بريستون وهي كروية الشكل ذات بنية غير معروفة.

(β''): تترسب في شكل إبر ممدودة على طول الاتجاه $\langle 100 \rangle$ [25، 26].

(β'): تترسب في شكل قضبان ممدودة على طول الاتجاه $\langle 100 \rangle$ ، ذو بنية بلورية سداسية ($a=0.705\text{nm}$ و $c=0.405\text{nm}$) [25].

(β): طور التوازن $\beta (\text{Mg}_2\text{Si})$ يترسب على شكل صفائح صغيرة على المستوى $\{100\}$ من المصفوفة $\alpha\text{-Al}$ ذات البنية المكعبة ممرضة الأوجه من النوع CaF_2 ($a=0.636\text{nm}$) [27].

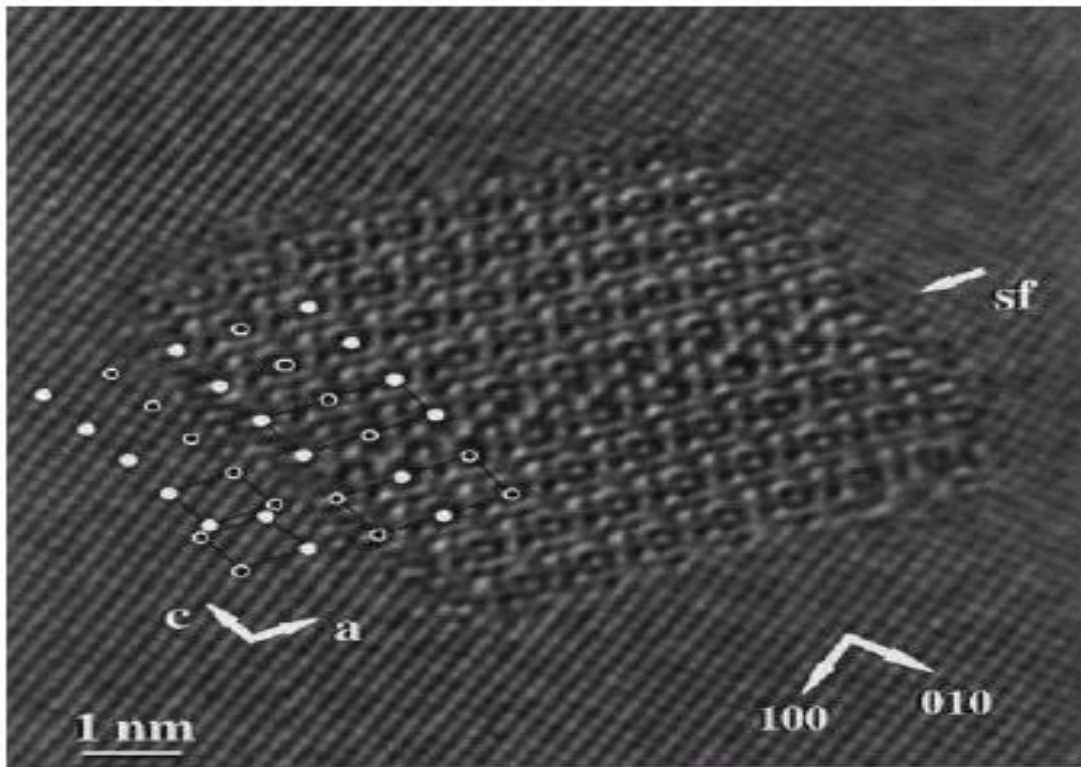
المناطق Gp:

من الصعب مراقبة تشكل هذه المناطق تجريبيا بالرغم من أنها تظهر بطريقة غير مباشرة من خلال زيادة صلادة السبيكة، بافتراض أن جميع المناطق لها حجم يتراوح بين 1-5 nm القطر [28].

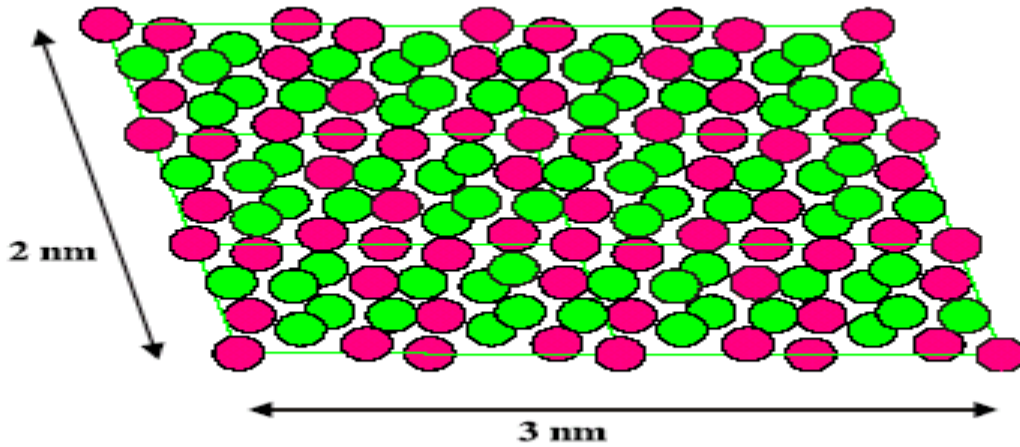
الطور β'' :

هو طور شبه مستقر يكون على شكل إير، يمتد على طول الاتجاه $\langle 100 \rangle$ [29]، تم اعتباره في السابق طور GP استنادا إلى النتائج الظاهرة على شريط الحيود الإلكتروني [30]، ثم تمت تسمية هذا الطور β'' من طرف Wang. بالاعتماد على دراسة لهذا الطور بواسطة الأشعة السينية لسبيكة Al-Mg-Si، تمكن الباحث من تحديد بنية الطور β'' و هي أحادي الميل ذات الثوابت:

$$[26,27] \gamma = 82^\circ \text{ و } c = 0.71 \text{ nm و } a = b = 0.616 \text{ nm}$$



الشكل 5.II : صورة للطور β'' تم الحصول عليها بواسطة المجهر الإلكتروني النافذ (MET) [34].



● ذرات المغنيزيوم

● ذرات الألمنيوم

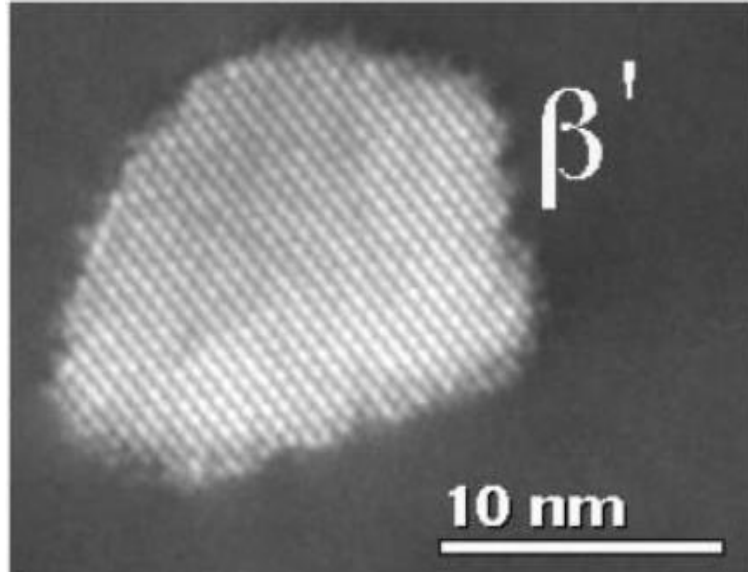
الشكل 6.II : ترسبات الطور β وفق نموذج Andersen [34].

الطور (β'):

النسبة Mg/Si في الطور المتوسط أضعف مما كانت عليه في طور التوازن. يترسب هذا الطور على شكل قضبان يتراوح قطرها بين 5 و 15nm تم تحديد بنية هذا الأخير بواسطة حيود الأشعة السينية [29]. وهي شبكة سداسية ذات الثوابت:

$$[29] a=0.705\text{nm}, c=0.405\text{nm}, \text{Mg/Si}=1.73$$

$$[29] a=b=0.407\text{nm}, c=0.405\text{nm}, \text{Mg/Si}=1.54$$

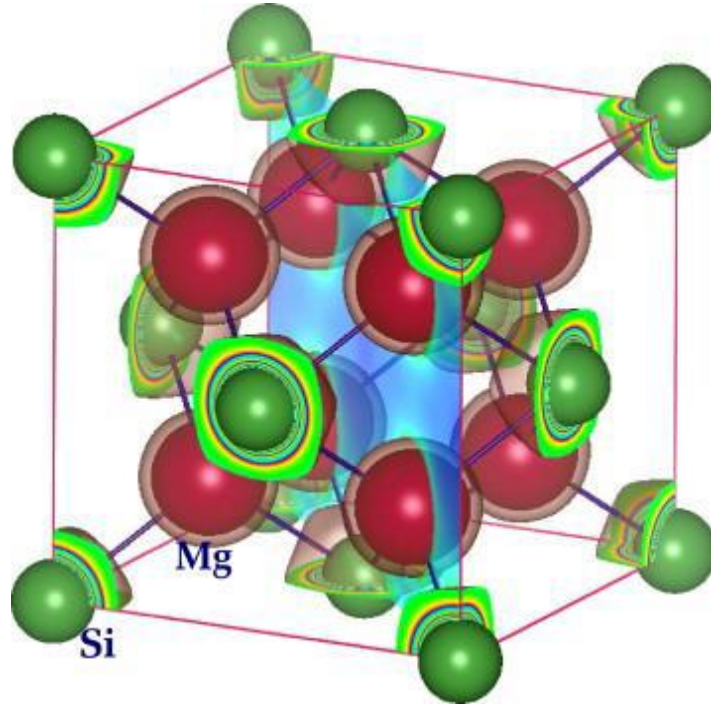
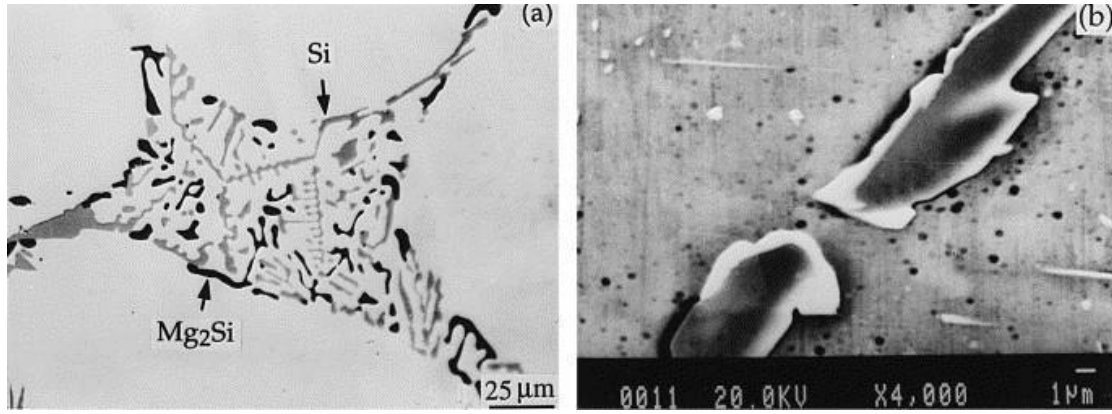


الشكل 7.II : ترسب الطور β' لسبيكة Al-Mg-Si [21]

الطور (Mg_2Si) β :

الطور المستقر (Mg_2Si) β هو أكثر طور معروف يترسب على شكل صفائح مربعة ذات سمك قريب من 10 nm بنيته مكعب ممرکز الوجوه لا يحتوي على الألمنيوم.

الطور (Mg_2Si) β غير متماسك مع المصفوفة.



الشكل 8.II : ترسب الطور β لسبيكة Al-Mg-Si وشكل بنيته [21].

الطور Q':

في حالة سبائك Al-Mg-Si(Cu) :

تتشكل سبائك Al-Mg-Si(Cu) عند إضافة النحاس إلى السلسلة 6000، أو عند إضافة السليسيوم إلى السلسلة 2000 [35].

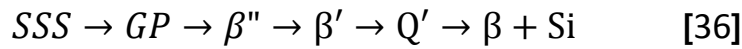
النتيجة الأساسية لإضافة النحاس لسبائك Al-Mg-Si هو تشكل الطور الرباعي Q ($Al_5Cu_2Mg_8Si_6$)، هذا الطور مستقر جدا و يتميز في سبائك Al-Mg-Si بزيادة نسبة السليسيوم فيه،

حتى عند إضافة نسبة قليلة من النحاس (0.25%)، يتشكل هذا الطور أثناء التصلد في حالة توازن الألمنيوم.

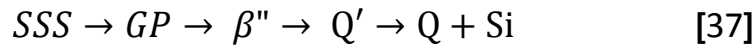
النحاس هو العنصر المسؤول عن تشكل الطورين Q و Q'. تتم إضافته خاصة للسلسلة 6000 لتحسين الخصائص الميكانيكية [35].

بعد التجانس و التبريد، تكون حركية تسلسل الترسبات كالتالي:

* ترسب السبيكة مع فرط في السليسيوم و نسبة قليلة من النحاس (0.07%) من الوزن.



* ترسب السبيكة مع فرط في السليسيوم و نسبة كبيرة من النحاس (0.91%) من الوزن.



طور التوازن Q:

هو الطور المستقر في سبائك Al-Mg-Si-Cu، يعرف باسم Q [26] أو W أو h [27،38].

تم تحديد بنيته بواسطة الأشعة السينية و هي سداسية حيث:

$$a = 1.03932nm ، c = 0.40173nm$$

الفصل الثالث

التعقبات التجريبية

والأجهزة المستعملة

1.II مقدمة:

الهدف من هذا الفصل هو التعريف بمختلف التقنيات التجريبية والمعالجات الحرارية التي استعملت لإنجاز هذا العمل.

التقنيات التجريبية التي استخدمت في هذا البحث من أجل دراسة تطور البنية المجهرية لمختلف السبائك وقياس نتائج الخصائص الميكانيكية نذكر منها: المجهر الضوئي، حيود الأشعة السينية، اختبار الصلادة.

III 2. اختيار المادة المدروسة:

تم توفير سبائك الألمنيوم المدروسة من قبل مختبر قسم فيزياء المعادن بجامعة مانشستر (بريطانيا)، العينات عبارة عن صفائح من سبائك الألمنيوم Al-Mg-Si (سلسلة 6000)، طولها 30 سم و عرضها 4 سم وسمكها 3 مم. التركيب الكيميائي لهذه السبائك مبين في الجدول 1.

السبيكة	Mg%	Si%	Cu%	Fe%	Mn%	Cr%	Zn%	Ti%	Al%
1	0.20	0.20	0.001	0.17	0.03	0.002	0.003	0.022	المتبقي
2	0.20	0.61	0.002	0.17	0.03	0.001	0.003	0.012	المتبقي
3	0.49	0.37	0.1	0.17	0.03	0.001	0.003	0.010	المتبقي

الجدول III 1: التركيب الكيميائي للسبائك المدروسة.

3.III المعالجات الحرارية:

تمت المعالجات الحرارية في فرن من نوع نابيرثرم NABERTHERM. بمعدل تسخين قدره 5 درجات مئوية في الدقيقة. تم اختيار هذا المعدل البطيء في رفع درجة الحرارة لجعل العناصر المضافة أكثر انحلال في مصفوفة الألمنيوم.

خضعت عينات السبيكة المدروسة إلى عملية التجانس الحراري عند درجة حرارة 550°C لمدة نصف ساعة، ثم تم تبريدها تبريدا سريعا بواسطة الماء (السقاية) و تم تعريضها للتعقيم الاصطناعي الحراري لمدة ربع ساعة لكل عينة في درجات حرارة تتراوح بين 25 درجة مئوية إلى 475 درجة مئوية.



الشكل 1.III: فرن المعالجات الحرارية نابيرثرم NABERTHERM

4.III تحضير العينات:

تحضر العينات وذلك بتقطيع الشبكة على شكل صفائح صغيرة بالأبعاد التالية تقريبا (طولها 2cm ، عرضها 1cm وسمكها 3mm). تتم هذه العملية باستخدام منشار حديدي يدوي، حيث يتم القطع ببطء وتحت تدفق الماء البارد لتجنب التصليد الانفعالي للعينات.

1.4.III الصقل:

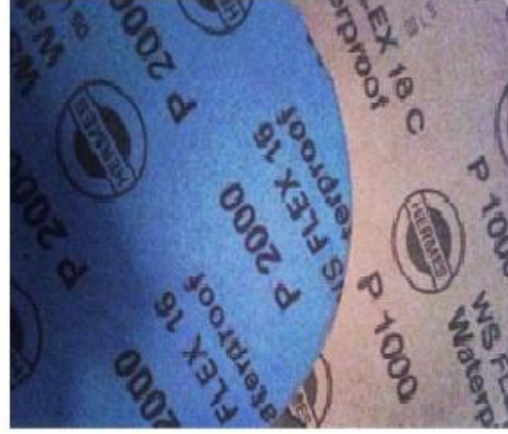
استخدمنا الورق الكاشط الخشن للصقل الميكانيكي الذي يتكوّن أساساً من حُبيبات كربونات السليسيوم (SiC). ذي درجات النعومة بالتدرّج من 100 إلى 1200 كعملية أولية، حيث يسمح هذا الأخير بالتّحسين التدرّجي لاستواء السطح ثم يتبع الصقل الخشن صقل ناعم باستخدام قماش رطب ويضاف إليه عجينة الألماس ذات حجم بلوري من رتبة $3 \mu m$ و $6 \mu m$ عند نهاية العمليتين يصبح سطح العينة شبيه بالمرآة.

2.4.III التّتميش الكيميائي:

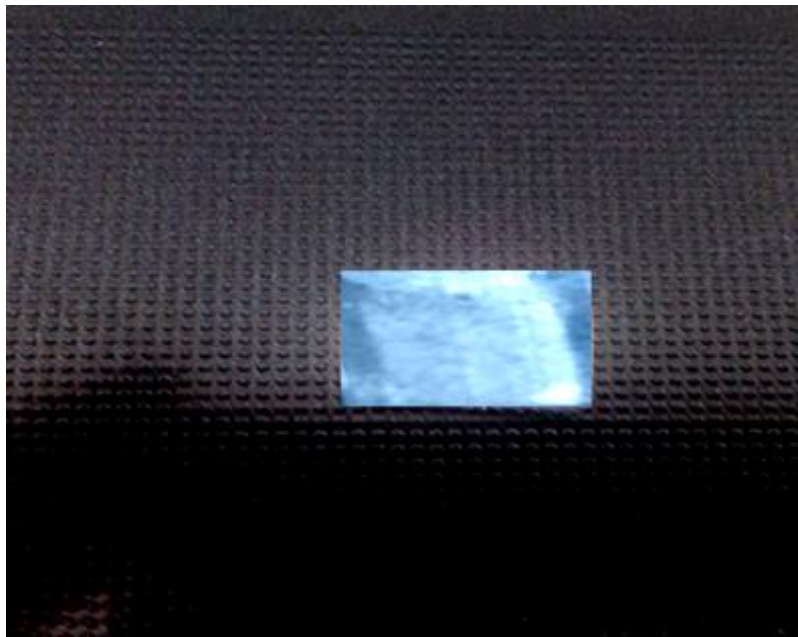
نعلم أن الفحص المجهرى لسطح العينات المصقولة لا يبين لنا حدود الأطوار، لذلك نقوم باستخدام مركب كيميائي يسمح بتتميش أسطح العينات.

تم إجراء عدة تجارب التتميش الكيميائي على العينات المصقولة باستخدام محلول ذي التركيب الكيميائي (17ml من حمض النيتريك (HNO₃), 5ml من حمض الهيدروفلوريك (HF)، 9ml من حمض الهيدروكلوريك (HCl) 78ml الماء المقطر) و بزمن إظهار يتراوح بين (10-15) ثانية، غير أن النتائج المتحصل عليها باستخدام كاشف كيلر كانت أكثر فعالية.

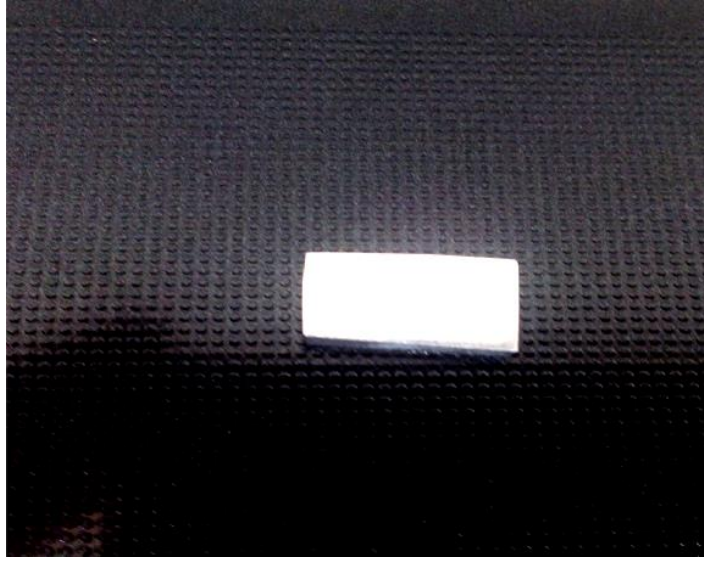
بعد إنهاء كل عملية التتميش تنظف العينات بالماء المقطر وتجفف بالهواء.



الشكل III.2: الورق الكاشط و ماكينة الصقل الميكانيكي (FORCIPOL 2).



الشكل III.3: سطح العينة قبل الصقل.

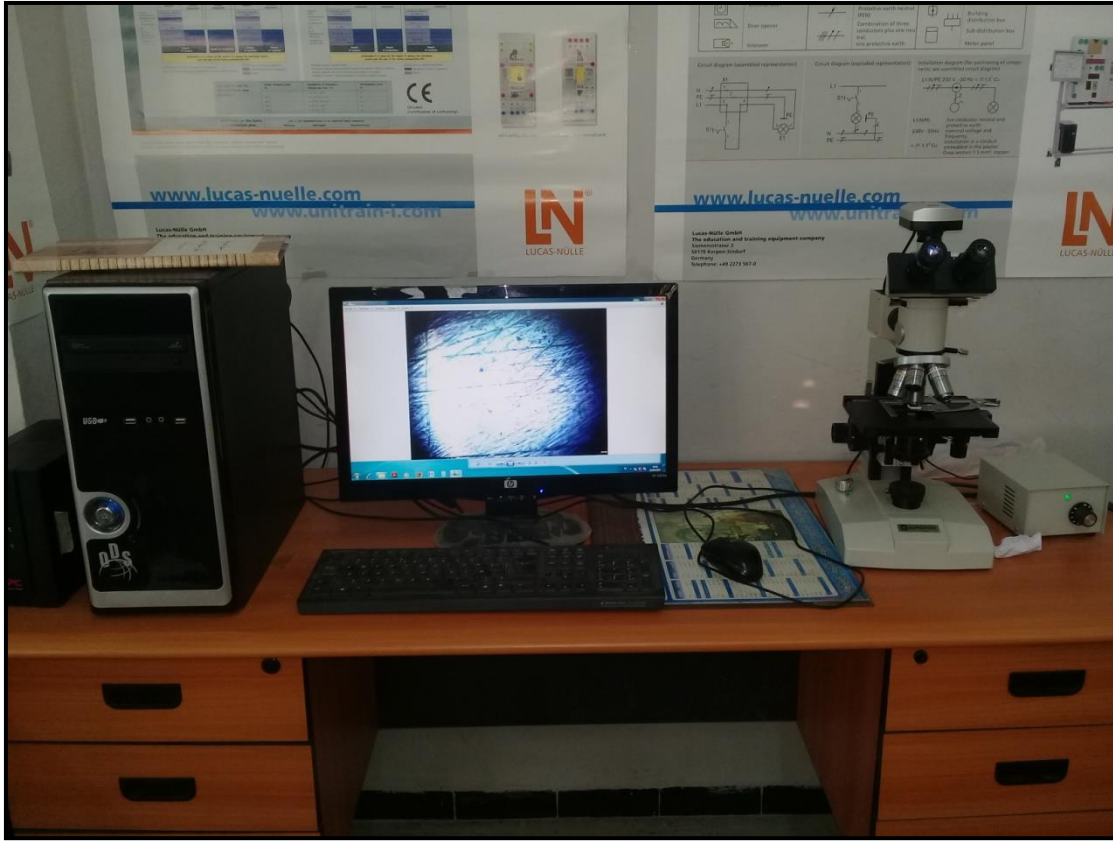


الشكل 4.III: سطح العينة بعد الصقل.

5.III الطرق التجريبية

1.5.III. المجهر الضوئي (MO) Microscope optique:

أجريت عملية المراقبة الميكروسكوبية في مختبر العناصر النشطة والمواد بجامعة العربي بن مهيدي أم البواقي، باستخدام مجهر ضوئي نوع أوروماكس EUROMEX (الشكل 4.III) بتكبيرات مختلفة (500، 600 و 1000) ومجهز بكاميرا رقمية. تسمح هذه التقنية بتسليط الضوء على مختلف التغييرات التي تطرأ على البنية المجهرية لمختلف السبائك.



الشكل 5.III: مجهر ضوئي نوع EUROMEX

(مختبر العناصر النشطة والمواد بجامعة العربي بن مهيدي أم البواقي)

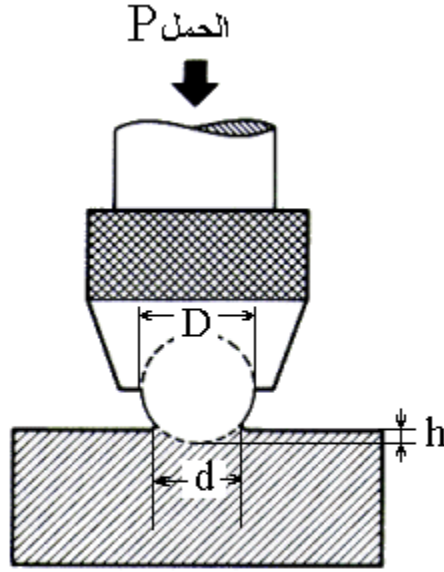
2.5.III اختبار الصلادة:

اختبار الصلادة عبارة عن تقنية تمكن المادة من الاحتفاظ بشكل سطحها متماسكا تحت تأثير الأحمال، قصد معرفة خاصية صلابتها.

يستخدم في اختبار الصلادة جسم قاس ذو شكل هندسي محدد، يتم الضغط به على السطح بعد إزالة القوة الضاغطة يترك أثر انغراسه على العينة. تقاس صلادة المعدن بقياس عرض الأثر فكلما زادت قيمته قلت صلادة المعدن. يتم استخدام عدة أنواع من هذه الاختبارات لها نفس المبدأ، غير أنها تختلف في شكل الأداة.

والتقنيات الثلاثة الأكثر شيوعاً هي اختبار بريزل، اختبار ركوال و اختبار فيكرز.

1. اختبار برينل: شكل الأداة عبارة عن كرات من الصلب المصلد (الشكل 6.III)

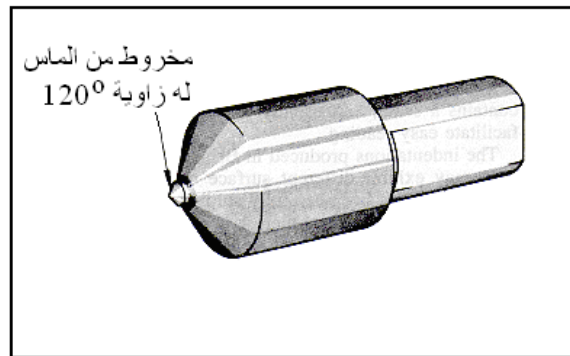


الشكل 6.III: أداة اختبار برينل

2. اختبار ركوال: شكل الأداة عبارة عن مخروط من الألماس له زاوية 120° وحرف

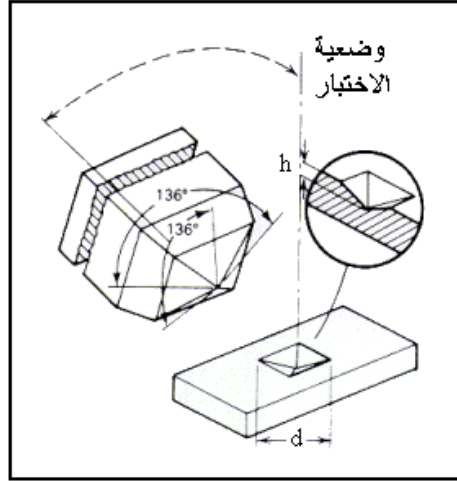
مستدير

ويسمى البرايل (الشكل 7.III)



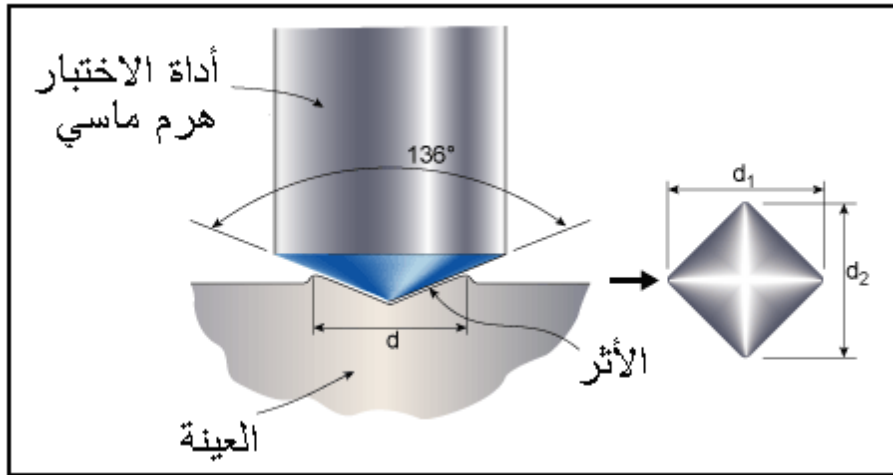
الشكل 7.III: أداة اختبار ركوال

3. اختبار فيكرز: شكل الأداة عبارة عن هرم من الألماس مربع القاعدة وتتقاطع مستوياته عند الحروف بزواوية θ قدرها 136° (الشكل 8.III)



الشكل 8.III: أداة اختبار فيكرز

بما أن شكل الأداة عبارة عن هرم من الألماس فإن الأثر على سطح عينة الاختبار سيكون مربعا و ذو عمق معين وبالتالي تقاس الصلادة بقياس قطر الأثر (d)



الشكل 9.III: اختبار فيكرز للصلادة (وضعية الاختبار وشكل الأثر).

يتم حساب صلادة فيكرز (HV) باستخدام العلاقة التالية: $Hv = \frac{1.854F}{D^2}$ أين :

✓ F حمل الاختبار (Kg)

✓ D قطر الأثر (mm)

في هذه الدراسة تم استخدام جهاز قياس الصلادة فيكرز نوع "AFFRI" (الشكل 10.III)، حيث تم تحضير العينات المراد قياس صلابتها وذلك بصقلها باستعمال الورق الكاشط تدريجيا من الرقم الصناعي 100 إلى 1200. أجريت القياسات تحت حمولة مقدارها 300 غرام لمدة 15 ثانية، ولكل عينة تمثل قيمة صلابتها متوسط خمس قياسات.



الشكل 10.III: جهاز قياس الصلادة فيكرز نوع "AFFRI".

3.5.III التحليل بواسطة حيود الأشعة السينية:

يستخدم حيود الأشعة السينية بشكل أساسي لتحديد الطبيعة البنيوية و المراحل البلورية الموجودة في المادة ودراسة ظاهرة الترسبات، عند تسليط حزمة من الأشعة السينية أحادية طول الموجة على العينة المتبلورة فإن الطبقات الذرية لهذه المادة تتسبب في حيود هذه الأشعة الساقطة عن مسارها الأصلي طبقا لقانون براج وبمعرفة شدة الانعكاسات وزوايا الانعكاس من نمط حيود الأشعة السينية يمكن تحديد المسافات البينية للطبقات الذرية (d) والذي يكون مميز للمادة التي يتم فحصها، وبالرجوع إلى بيانات ASTM يمكن التعرف على المركبات المكونة للعينة.

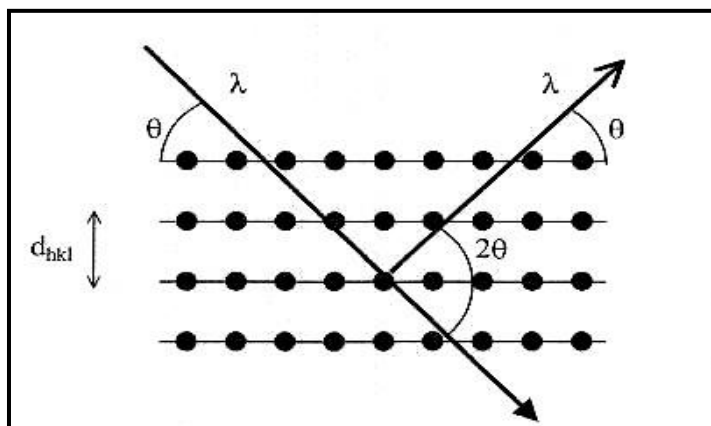
عندما تتداخل الموجات المنعكسة تداخلا بناء، يظل الطور بينهم ثابتا حيث أن مسار كل موجة يساوي عددا كاملا n من طول الموجة λ . ويخضع فارق المسار بين موجتين تداخلتا تداخلا بناء لقانون براج :

$$2 d_{hkl} \sin \theta = n\lambda \dots \dots \dots (1. III)$$

تربط هذه العلاقة بين :

- المسافة d بين طبقات الذرات.
- طول موجة الأشعة λ .
- الزاوية θ بين الشعاع الساقط و مستوي الطبقة البلورية.
- n عدد صحيح يحدد درجة الحيود.

استعملنا في هذه الدراسة جهاز انعراج الأشعة السينية نوع : EQUINOX 100



الشكل 11.III: حيود براغ



الشكل 12.III : جهاز انعراج الأشعة السينية نوع EQUINOX 100

الفصل الرابع

النتائج ومناقشتها

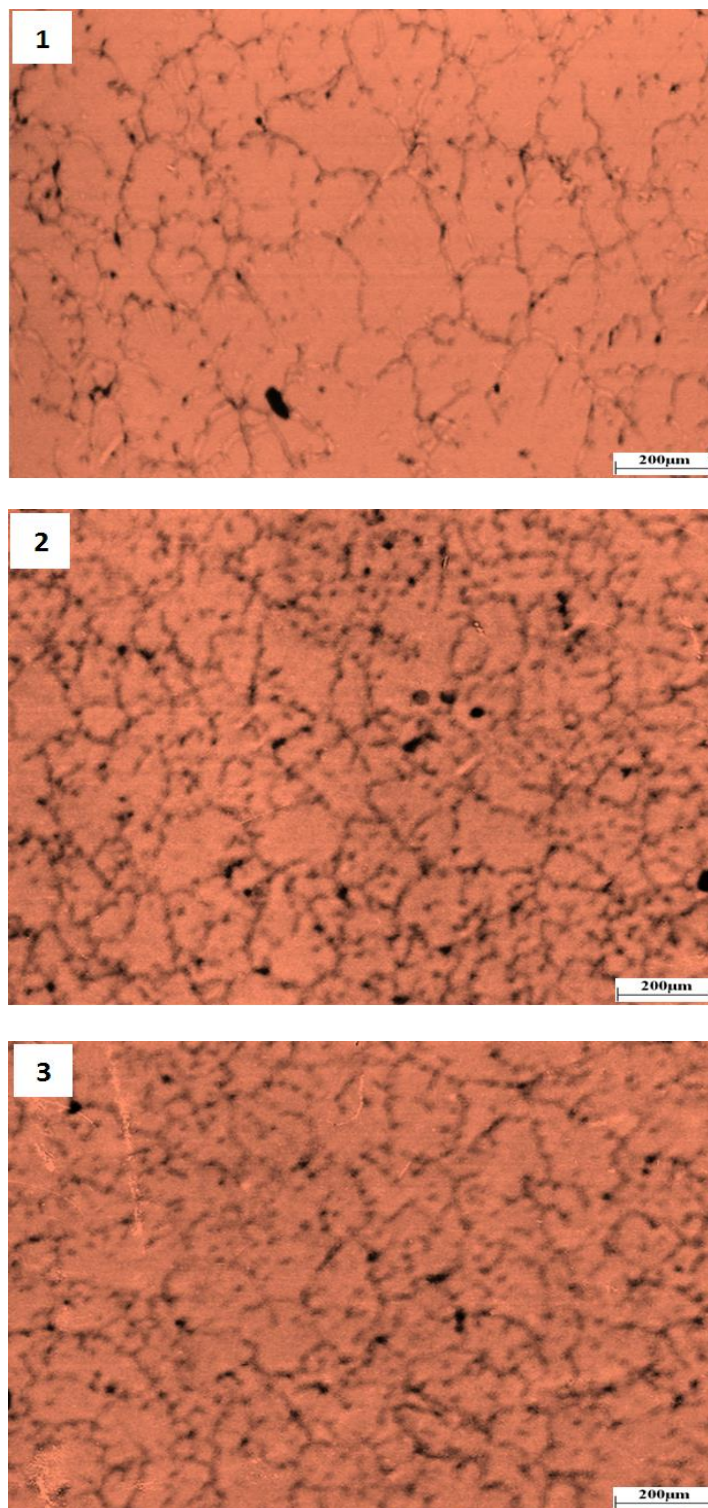
مقدمة

سننظر في هذا الفصل إلى النتائج التي تم التحصل عليها بالاعتماد على التقنيات التجريبية التي تم استعمالها، بدايةً من نتائج الفحص بالمجهر الضوئي لعينات سبائك الألمنيوم Al-Mg-Si الثلاثة، ثم النتائج التي تم التحصل عليها عن طريق تقنيات تجريبية أخرى مثل حيود الأشعة السينية واختبار الصلادة.

وتتمثل سبائك الألمنيوم الثلاثة في حالة الاستلام حيث السبيكة (2) تحتوي على الفرب في السليسيوم و السبيكة (3) تحتوي على النحاس.

1.IV الدراسة باستعمال المجهر الضوئي

يبين الشكل (1.IV) البنية المجهرية للسبائك الثلاثة التي تمت دراستها في الحالة الخام (حالة الاستلام) ، نلاحظ وجود حبيبات ذات أحجام مختلفة أي غير متجانسة. تتوزع هذه الجزيئات بصورة عشوائية داخل الحبيبات. تشكلت هذه الجزيئات أثناء تحضير السبائك المدروسة. كما أظهرت الصور أيضاً أن متوسط حجم الحبيبات في حالة السبيكة (3) صغير مقارنةً بمتوسط حجم الحبيبات للسبكتين (1) و (2) . وهذا يمكن أن يرجع لوجود النحاس في السبيكة (3) والذي بدوره يعمل على تحسين الخصائص الميكانيكية لسبائك الألمنيوم السلسلة 6000 ويجعل من البنية المجهرية دقيقة. هذه النتيجة في اتفاق جيد مع النتائج التي تم الحصول عليها من قبل بعض الباحثين [39-42].

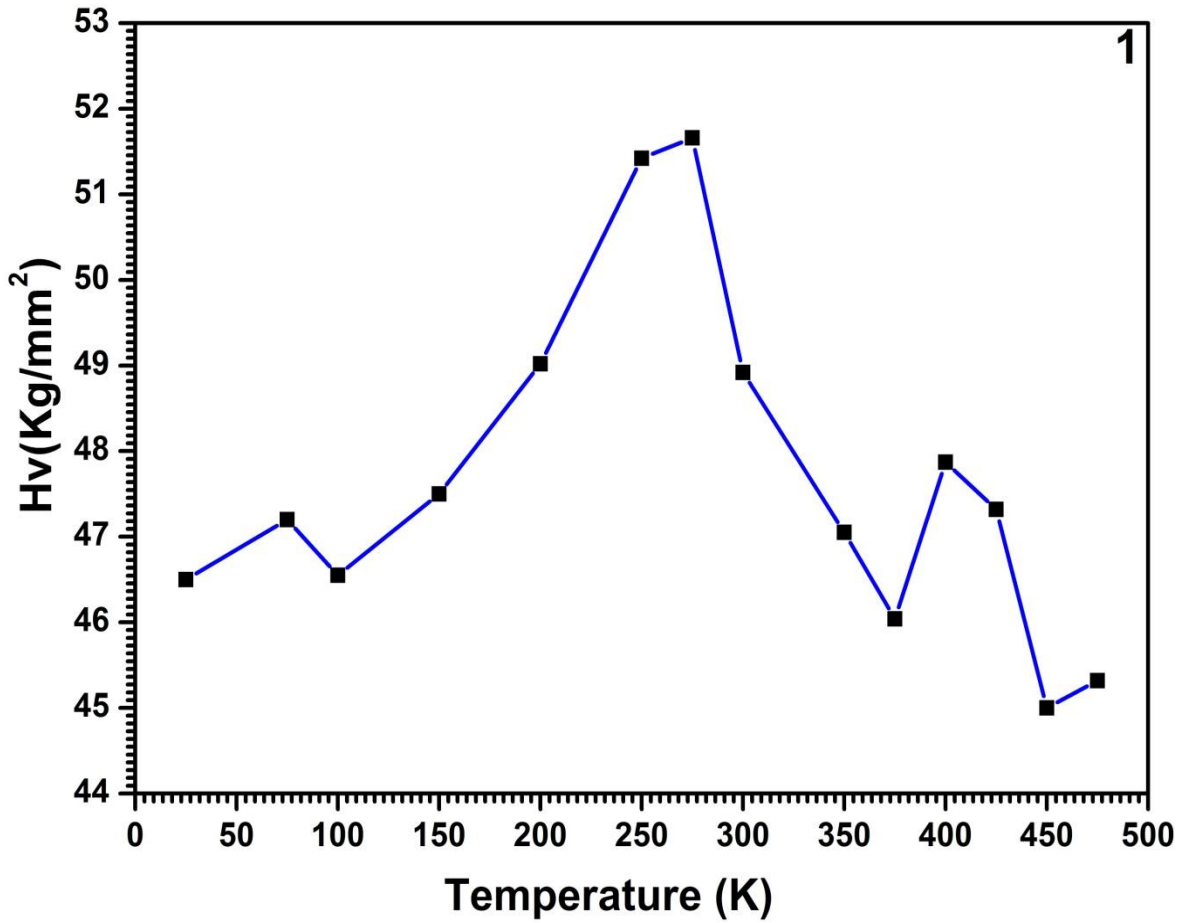


الشكل 1.IV: البنية المجهرية لعينات سبائك الألمنيوم المدروسة

IV. 2. اختبار الصلادة

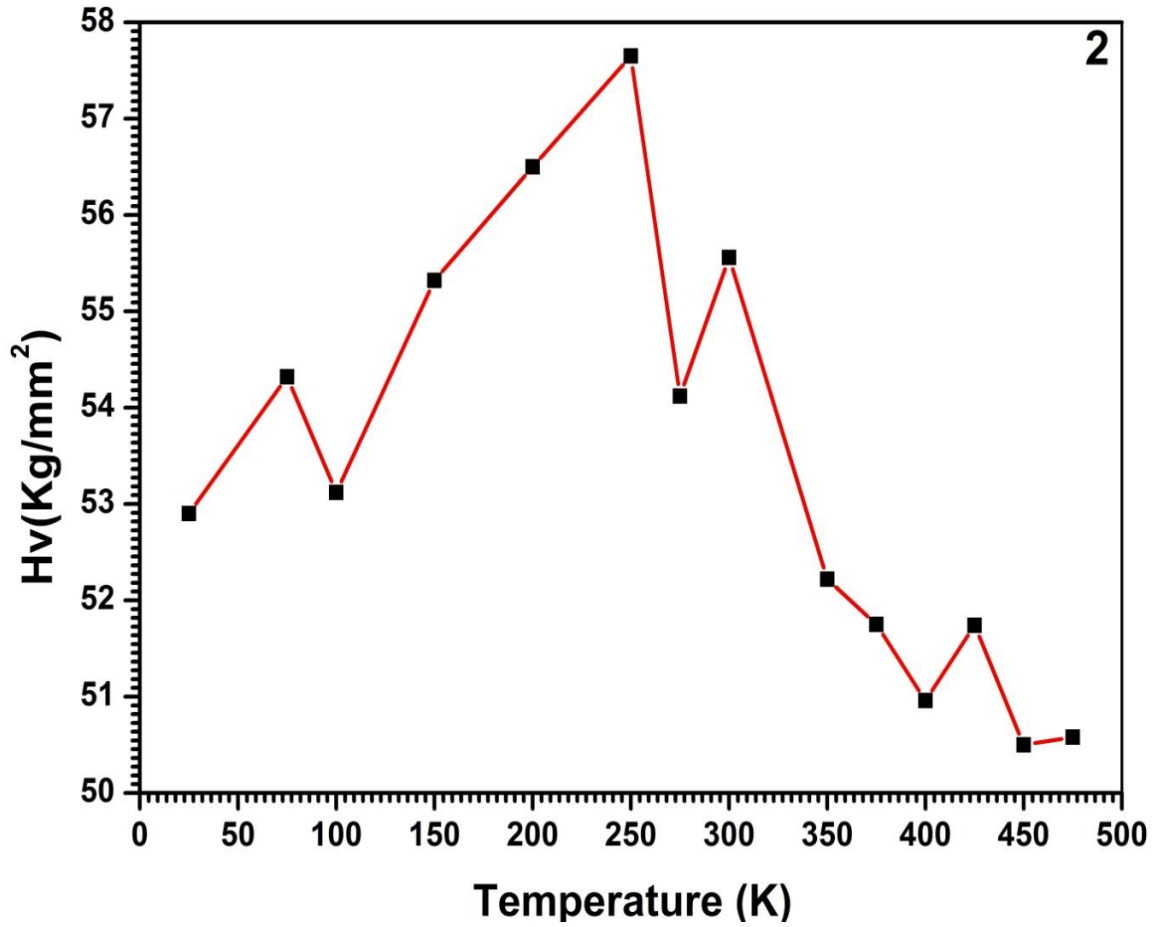
سنتطرق في هذا الجزء إلى دراسة الصلادة HV باستخدام جهاز لقياس الصلادة نوع AFFRI. يتم معالجة عينات السبائك المدروسة بالتعقيم الاصطناعي الحراري لمدة ربع ساعة لكل عينة في درجات حرارة تتراوح بين 25°C إلى 475°C. بعد كل معالجة حرارية تبرد العينات تبريدا سريعا بالماء البارد (عملية السقاية).

يبين الشكل (2.IV) تغير الصلادة HV بدلالة درجات حرارة التعقيم الاصطناعي للسبيكة (1). نلاحظ وجود ثلاثة قمم للصلادة. تمثل القمة الأولى الواقعة في جوار 75°C تشكل مناطق غير بريستون (GP) و تجمعات ذرات كل من Mg و Si. هذه النتيجة في اتفاق جيد مع بعض الدراسات السابقة [43, 44] القمة الواقعة عند 275°C تدل على تكوين الطورين الشبه مستقرين β و β' . أما القمة الواقعة عند 400°C تدل على تكون الطور المستقر $\beta(Mg_2Si)$.



الشكل 2.IV: تغير الصلادة HV بدلالة درجة الحرارة للسبيكة (1)

تغير الصلادة HV بدلالة درجات حرارة التعقيم الاصطناعي للسبيكة (2) مبين في الشكل (3.IV) فلاحظنا أنه بالإضافة إلى القمم التي ظهرت في السبيكة (1) ، وجود قمة جديدة والتي تدل على تشكل الطور الشبه المستقر β' مستقلا على الطور β [39].

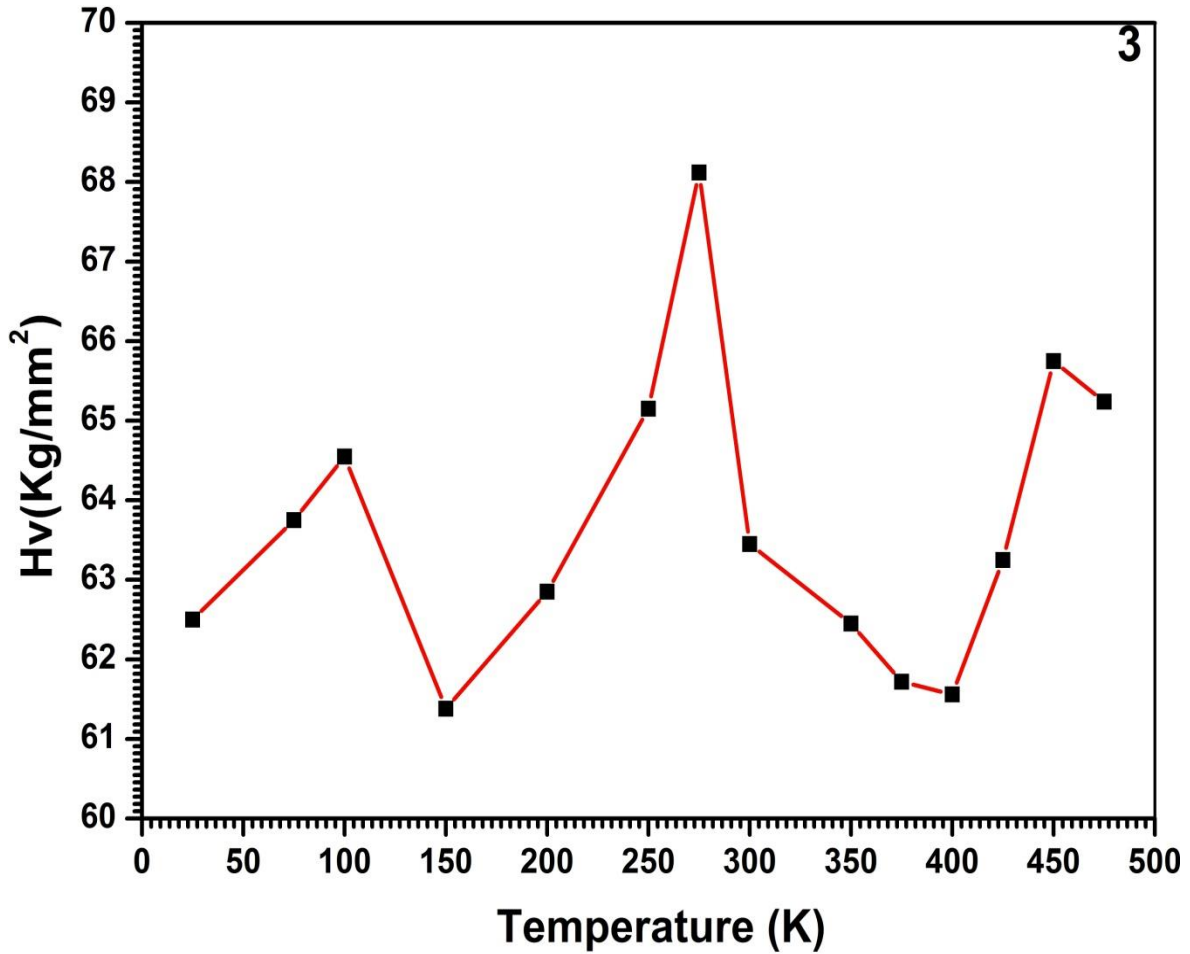


الشكل 3.IV: تغير الصلادة HV بدلالة درجة الحرارة للسبيكة (2)

يبين الشكل (4.IV) تغير الصلادة HV بدلالة درجات حرارة التعقيم الاصطناعي للسبيكة(3).

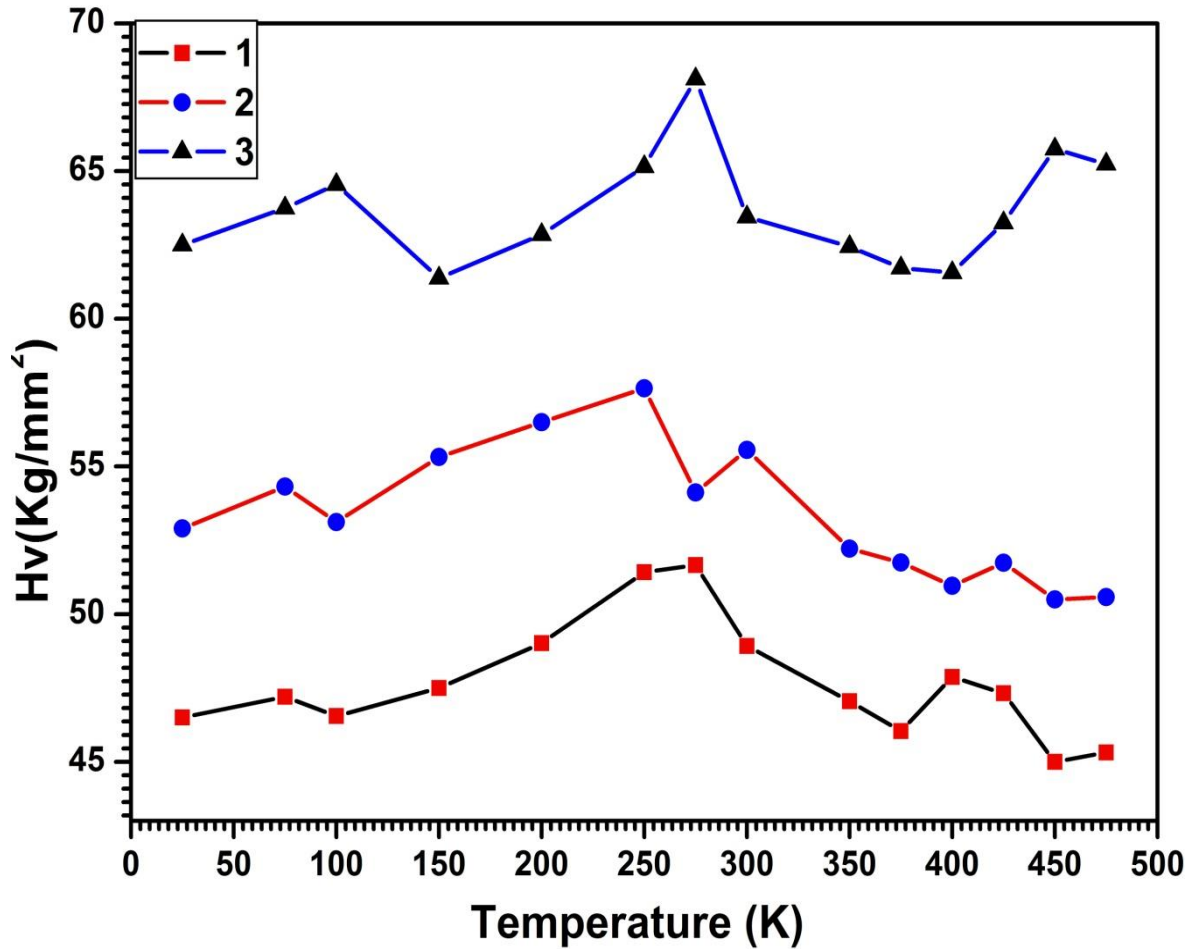
نلاحظ وجود نفس القمم التي وجدناها في السبيكة(1). والتي تمثل تشكل كل من مناطق GP

والطورين الشبه مستقرين β' و β'' وتكون الطور المستقر β (Mg₂Si).



الشكل 4.IV: تغير الصلادة HV بدلالة درجة الحرارة للسيبكية (3)

يبين الشكل (5.IV) تغير الصلادة HV بدلالة درجات حرارة التعقيم الاصطناعي للسبائك المدروسة. هذا الأخير يدل على أن إضافة عناصر مثل Cu و Si لسبائك الألمنيوم السلسلة 6000 تكون مصحوبة بزيادة معتبرة في الصلادة. نلاحظ أن السبكية (3) لها صلادة أكبر من صلادة السببكتين (1) و (2)، هذه الزيادة راجعة لوجود النحاس والذي يجعل من بنية السبكية دقيقة. نلاحظ أيضا انتقال قمة تكون الطور الشبه مستقر " β " في السبكية (2) إلى درجات حرارة أقل من التي تكون فيها نفس الطور بالنسبة للسببكتين (1) و (3)، وهذا راجع للفرط في السليسيوم المتواجد في السبكية (2) والذي بدوره يساهم في تسريع حركية ترسب الأطوار [39].



الشكل 5.IV: تغير الصلادة HV بدلالة درجة الحرارة للسبائك الثلاثة

IV. 3. التحليل بواسطة الأشعة السينية:

إن فيزياء الحالة الصلبة بمختلف مجالاتها تستخدم طريقة حيود الأشعة السينية (XRD) من أجل

تحديد البنية البلورية.

لقد درسنا تطور البنية المجهرية للسبيكتين (1) و (2) من خلال تحليلنا لأطياف الحيود التي تم

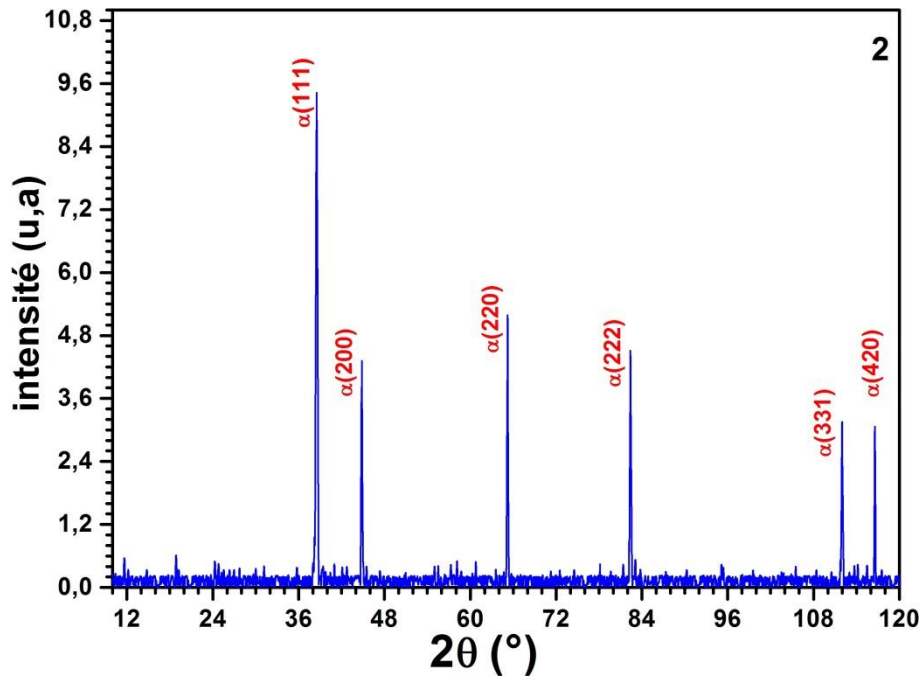
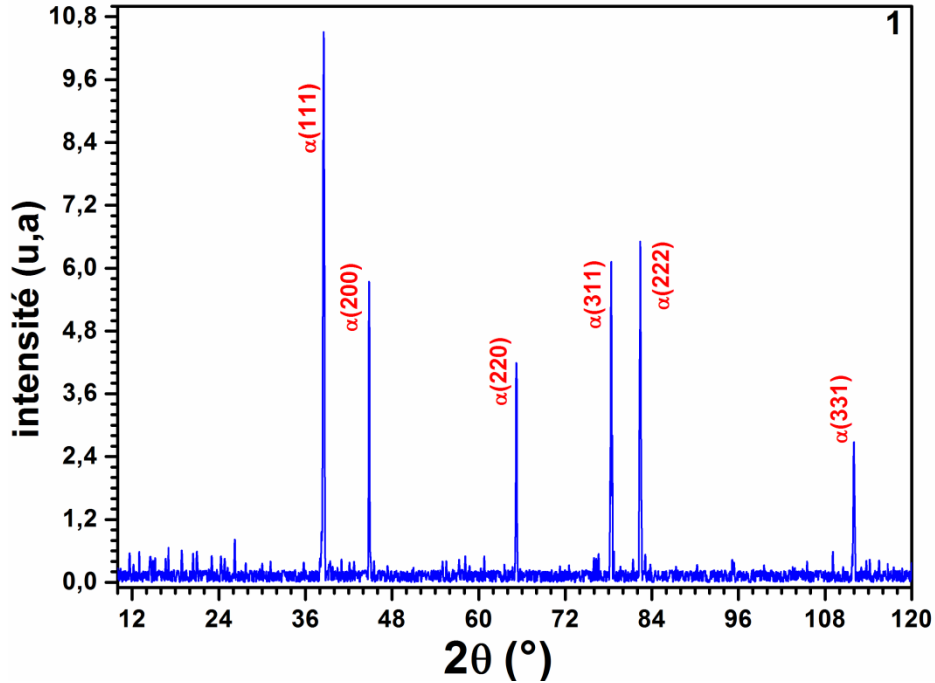
الحصول عليها بواسطة جهاز حيود الأشعة السينية نوع EQUINOX 100 باستخدام حزمة أحادية

اللون من طيف النحاس ذات الطول الموجي 0.15406 nm عند التشغيل بفولتية 30 kV وتيار

20 mA وسرعة المسح 0.02deg/s وضمن المدى الزاوي $2\theta = [10^\circ, 120^\circ]$.

الشكل (6.IV) يبين لنا أطياف حيود الأشعة السينية للسبكتين (1) و (2) ، وفقاً لصحائف بيانات

. ASTM ، فإن حالات الانعراج المبينة في الشكل تتوافق مع بنية الألمنيوم C.F.C .



الشكل 6.IV: أطياف حيود الأشعة السينية للسبكتين (1) و (2)

جِلَاصَةُ عَاَصِرٍ



خلاصة عامة

يهدف العمل الذي قمنا به في هذه المذكرة إلى دراسة و فهم تأثير النحاس و الفرط في السليسيوم على سبائك Al-Mg-Si ، تم استخدام العديد من التقنيات التجريبية لدراسة الترسبات والصلادة لسبائك Al-Mg-Si و هي : المجهر الضوئي (MO) وقياس الصلادة HV وحيود الأشعة السينية. أظهرت الدراسة هذه النتائج والتي كانت في اتفاق جيد مع دراسات بعض المؤلفين، يمكن تلخيص هذه النتائج كالتالي:

- 1/ الفرط في السليسيوم يسرع حركية الترسبات في سبائك Al-Mg-Si .
- 2/ إضافة النحاس إلى سبائك Al-Mg-Si يزيد من صلابتها حيث تكون هذه الأخيرة أكبر من صلادة سبائك Al-Mg-Si التي تحتوي على فرط في السليسيوم.
- 3/ إضافة النحاس إلى سبائك Al-Mg-Si يجعل من حبيبات الشبكة دقيقة.

قَامِلَةُ الْمَرْحُومَةِ



قائمة المراجع:

- [1] G.W. Lorimer; FIZIKA 2 Suppl, 2 (1970) 01.
- [2] L.F.Mondolfo, AluminiumAlloys, structures and proprietes, Butterworth, 1st edition, London (1976)
- [3] L.Menasria, Mémoire de master, Université de Tébessa, Algérie, (2018).
- [4] F. Serradj, Thèse doctorat, Université de Constantine, Algérie, (2014).
- [5] H. Farh, Thèse doctorat, Université d'Oum El Bouaghi, Algérie, (2012).
- [6] T. Ziar, H. Farh, and R. Guemini, Acta Metall Slovaca. 22(3) (2016) 138
- [7] R . Develay, Traitements thermiques des alliages d'aluminium, Doc. M 1290, Techniques de l'ingénieur, (1991).
- [8] M. Zidani, L. Bessais, H. Farh et all, Steel and composite structures, 22 (2016) 745.
- [9] J. Zhang, Z. Fan, Y. Q. Wang and B. L. Zhou, materials sciences and technology 17 (2001) 494.
- [10] K. Djemmal, H. Farh, R. Guemini, M. Zidani, and F. Serradj, Int J Eng Rres Africa. 28 (2017) 1.
- [11] M.A. Moustafa, F.H. Samuel, H.W. Doty et S. Valtierra, International Journal of Cast Metals Research, 14 (2002) 235.
- [12] J.E. Gruzleski et B.M. Closset, The Treatment of Liquid Aluminum-Silicon Alloys, American Foundrymen's Society Inc, Des Plaines, IL, (1990) 142.
- [13] J. E. Hatch (éd.), Aluminum - Properties and Physical Metallurgy, American Society for Metals, Metals Park, Ohio, (1984) 84.
- [14] M. Nicolas, Thèse de doctorat, Laboratoire de Thermodynamique et de P 1 hysico-Chimie Métallurgiques GRENOBLE. (2002).
- [15] W. Kurz, J.P. Mercier, G. Zambili, 2ème édition, presse polytechnique et universitaire Romandes, Suisse Lausanne, (1995).
- [16] DJ. Chakrabarti, D.E. Laughlin, Progress Mater. Set 49 (2004) 389.
- [17] E. Hornbgen, Nucleation, M. Becker, 309, Inc New-york, (1969).
- [18] Y. Ohmori, L.C. Doan, Y. Matsuda, S. Kobayashi, K. Naki, Mater. Trans, 42(12) (2001) 2476.

- [19] A. Azizi, Thèse de Doctorat d'Etat, Université de Constantine, Algérie, (2012).
- [20] DJ. Chakrabarti, Y. Peng, D.E. Laughlin, Mater. Sci. Forum, 396-402 (2002), 857.
- [21] C. Cayron, P. A. Buffat, Acta. Mater, 48 (2000), 2639.
- [22] S. M. Hirth, G. J. Marshall, S. A. Court, D. J. Lloyd, Mater. Sci.Eng. A, 329-321 (2001), 452.
- [23] Y. Aouabdia, A. Boubertakh, and S. Hamamda, Mater Lett, 64(3) (2010) 353.
- [24] X. Wang, W. J. Poole, S. Esmaili, D. J. Lloyd, J. D. Embury, Met. Mater. Trans, 34(A) (2003), 2913.
- [25] Y. Aoubdia, Thèse doctorat, Université de Constantine, Algérie, (2011).
- [26] S. Esmaili, D. J. Lloyd et W. J. Poole, Acta. Mater. 51 (2003), 3467.
- [27] C. Cayron, L. Sagalowicz, O. Beffort, P. A. Buffat, Phil. Mag, 79(11) (1999), 2833.
- [28] F.D. GEUSER. Thèse de doctorat, Université de ROUEN (2005).
- [29] A. Fattah, N. Afify, High Temp - High Press, 31 (1999) 613.
- [30] C. Cayron, P. A. Buffat, Acta Mater, 48 (2000) 2639.
- [31] S. J. Andersen, C. D. Marioara, A. Froseth, R. Vissers, H.W. Zandbergen, Mater. Sci. Eng.A, 390 (2005), 127.
- [32] Y. Murakami, Structure and Proprieties of Nanoferrous Alloys, (1996),196.
- [33] G. A. Edwards, K. Stillep, G. L. Dunlop, M. J. Couper,Acta.Mater, 46(11) (1998), 3893.
- [34] S.J.Andersen, H.W.Zandbergen, J.Jansen, C.traeholt, U.Tundal et O.Reiso, Acta Mater, 46 (1998), 3283.
- [35] T. Abid, Thèse Doctorat, Université Constantine 1, Algérie, (2014).
- [36] D. Vaumousse, A. Cerezo, P. J. Warren, S. A. Court, Mater. Sci. Forum, 396-402 (2002), 693.
- [37] S. Esmaili, L. M. Cheng, A. Deschamps, D. J. Lloyd, W. J. Poole, Mater. Sci.Eng. A, A 319-321 (2001), 461.
- [38] F. Dimier, Thèse Doctorat, L'école nationale supérieure Des Mines, Paris, (2003).
- [39] H. Belghit, H. Farh, T. Ziar, M. Zidani, M. Guemini, Arch. Metall. Mater, 63 (4) (2018) 1643.
- [40] A. Gaber, M. A. Gaffar, M. S. Mostafa, and E. F. A. Zeid, J. of Alloy Compd. 429 (1-2), (2007) 167.

- [41] S. Esmaeili, X. Wang, D.J. Lloyd, W.J. Poole, Metallurgical and Materials Transactions. 34(A), (2003) 751.
- [42] K. Matsuda, S.Taniguchi, K.Kiod, Y.Uetani, S. Ikeno, Mater. Trans, 43(11) (2002) 2789.
- [43] K. Djabri, Mémoire de master, Université de Tébessa, Algérie. (2016).
- [44] A. Chaouaf et I. Trabelssi, Mémoire de master, Université de Tébessa, Algérie. (2017).

فائمة الملاحو



الملحق

Fiche A.S.T.M de l'aluminium

Name and formula

Reference code:	00-004-0787
Mineral name:	Aluminum, syn
PDF index name:	Aluminum
Empirical formula:	Al
Chemical formula:	Al

Crystallographic parameters

Crystal system:	Cubic
Space group:	Fm-3m
Space group number:	225
a (Å):	4,0494
b (Å):	4,0494
c (Å):	4,0494
Alpha (°):	90,0000
Beta (°):	90,0000
Gamma (°):	90,0000
Calculated density (g/cm ³):	2,70
Volume of cell (10 ⁶ pm ³):	66,40
Z:	4,00
RIR:	3,62

Subfiles and Quality

Subfiles:	Inorganic Mineral Alloy, metal or intermetallic Common Phase Educational pattern Explosive Forensic NBS pattern Pigment/Dye
Quality:	Star (S)

Comments

Color:	Light gray metallic
General comments:	Mineral species of doubtful validity, <i>Am. Mineral.</i> , 65 205 (1980).
Sample preparation:	The material used for the NBS sample was a melting point standard sample of aluminum prepared at NBS, Gaithersburg, Maryland, USA.
Analysis:	The chemical analysis (%): Si 0.011, Cu 0.006, Fe 0.007, Ti 0.0001, Zr 0.003, Ga 0.004, Mo 0.00002, S 0.0001, Al 99.9+ (by difference).
Additional pattern:	See ICSD 64700 (PDF 01-085-1327).
Temperature:	Pattern taken at 25 C.

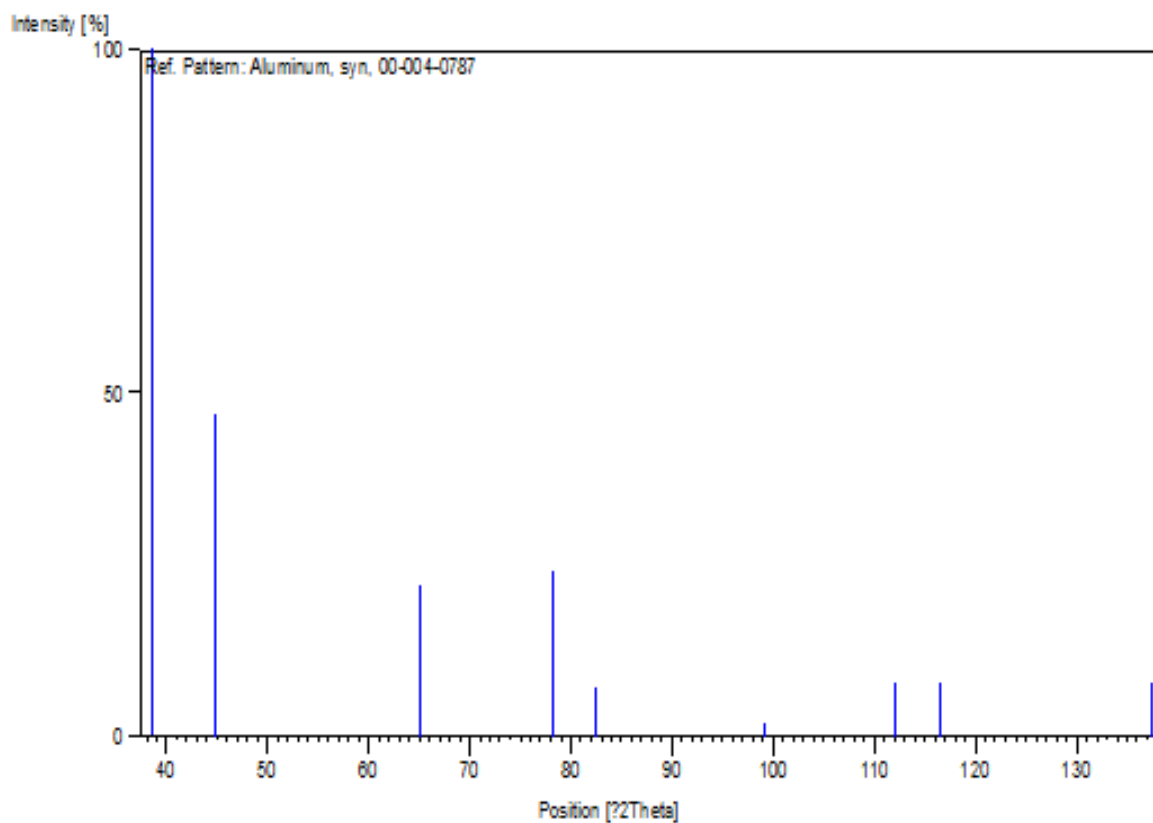
References

Primary reference: Swanson, Tatge., *Natl. Bur. Stand. (U.S.), Circ. 539, I, 11, (1953)*

Peak list

No.	h	k	l	d [Å]	2Theta [deg]	I [%]
1	1	1	1	2,33800	38,473	100,0
2	2	0	0	2,02400	44,740	47,0
3	2	2	0	1,43100	65,135	22,0
4	3	1	1	1,22100	78,230	24,0
5	2	2	2	1,16900	82,438	7,0
6	4	0	0	1,01240	99,081	2,0
7	3	3	1	0,92890	112,046	8,0
8	4	2	0	0,90550	116,574	8,0
9	4	2	2	0,82660	137,463	8,0

Stick Pattern



المَلِكِ الحَمِيدِ



الملخص:

يهدف العمل الذي قدمناه في هذه المذكرة إلى دراسة تأثير العناصر المضافة مثل النحاس والفرط في السيليكون على البنية المجهرية والخصائص الميكانيكية لثلاثة سبائك من الألومنيوم Al-Mg-Si (السلسلة 6000). وكذلك تأثير المعالجات الحرارية على الصلادة. ولمتابعة تأثير هذه المعالجات الحرارية على البنية المجهرية ومراحل الترسيبات، إستخدمنا العديد من التقنيات التجريبية مثل: المجهر الضوئي، إختبار الصلادة (HV) وحيود الأشعة السينية (XRD).
يمكن تلخيص النتائج الرئيسية للمذكرة على النحو التالي:

- ✓ إضافة النحاس إلى سبائك Al-Mg-Si يجعل الحبيبات دقيقة ويزيد من صلادة السبائك.
- ✓ إضافة السيليكون إلى سبائك الألومنيوم يسرع حركة الترسيبات.
- ✓ مراحل الترسيبات المتحصل عليها في السبائك الثلاثة المدروسة هي كما يلي:

1. الشبكة التي تحتوي على فرط في السيليكون



2. الشبكة التي تحتوي على النحاس



3. الشبكة التي لا تحتوي على النحاس وعلى الفرط في السيليكون



Résumé

Le travail que nous avons présenté dans ce mémoire a pour but essentiel d'étudier les effets des éléments additionnés tels que, le cuivre et l'excès de silicium sur la microstructure et les propriétés mécaniques des trois alliages d'aluminium Al-Mg-Si (série 6000). Ainsi que, l'influence des traitements thermiques sur la microdureté. Pour suivre l'effet de ces traitements thermiques sur la microstructure et la séquence de précipitation nous avons utilisé plusieurs techniques expérimentales telles que: la microscopie optique, la microdureté (Hv) et la diffraction des rayons X (DRX).

Les principaux résultats du mémoire peuvent se résumer de la manière suivante:

- ✓ L'addition de cuivre aux alliages d'Al-Mg-Si affine la taille des grains et augmente la dureté.
- ✓ L'addition de silicium aux alliages d'aluminium accélère la cinétique de la précipitation.
- ✓ La séquence de précipitation obtenue dans les trois alliages étudiés est comme suit :

1. l'alliage contenant l'excès de silicium :

(SSS) \longrightarrow zones GP \longrightarrow β'' \longrightarrow β' \longrightarrow β (Mg_2Si)

2. l'alliage contenant le cuivre :

(SSS) \longrightarrow zones GP \longrightarrow ($\beta'' + \beta'$) \longrightarrow β (Mg_2Si)

3. l'alliage sans cuivre et sans excès de silicium :

(SSS) \longrightarrow zones GP \longrightarrow ($\beta'' + \beta'$) \longrightarrow β (Mg_2Si)

Abstract

The work that we presented in this memoir essential aim to study the effects of the addition elements such as, the copper and the excess of the silicon on the microstructure and the mechanical properties of three Al-Mg-Si aluminum alloys (6000 series). As well as, the effect of heat treatments on the micro-hardness. To follow the effect of these heat treatments on the microstructure and the precipitation sequence, several experimental techniques have been used such as: optical microscopy, microhardness (Hv) and X-ray diffraction (XRD).

The main results of the memoir can be summarized as follows:

- ✓ The addition of copper to Al-Mg-Si alloys refines the grain size and increases the hardness.
- ✓ The addition of silicon to the aluminum alloys accelerates the kinetics of the precipitation.
- ✓ The precipitation sequence obtained in the studied alloys is as follows:

1. The alloy containing excess silicon:



2. The alloy containing Copper :



3. The alloy without copper and without excess silicon:

